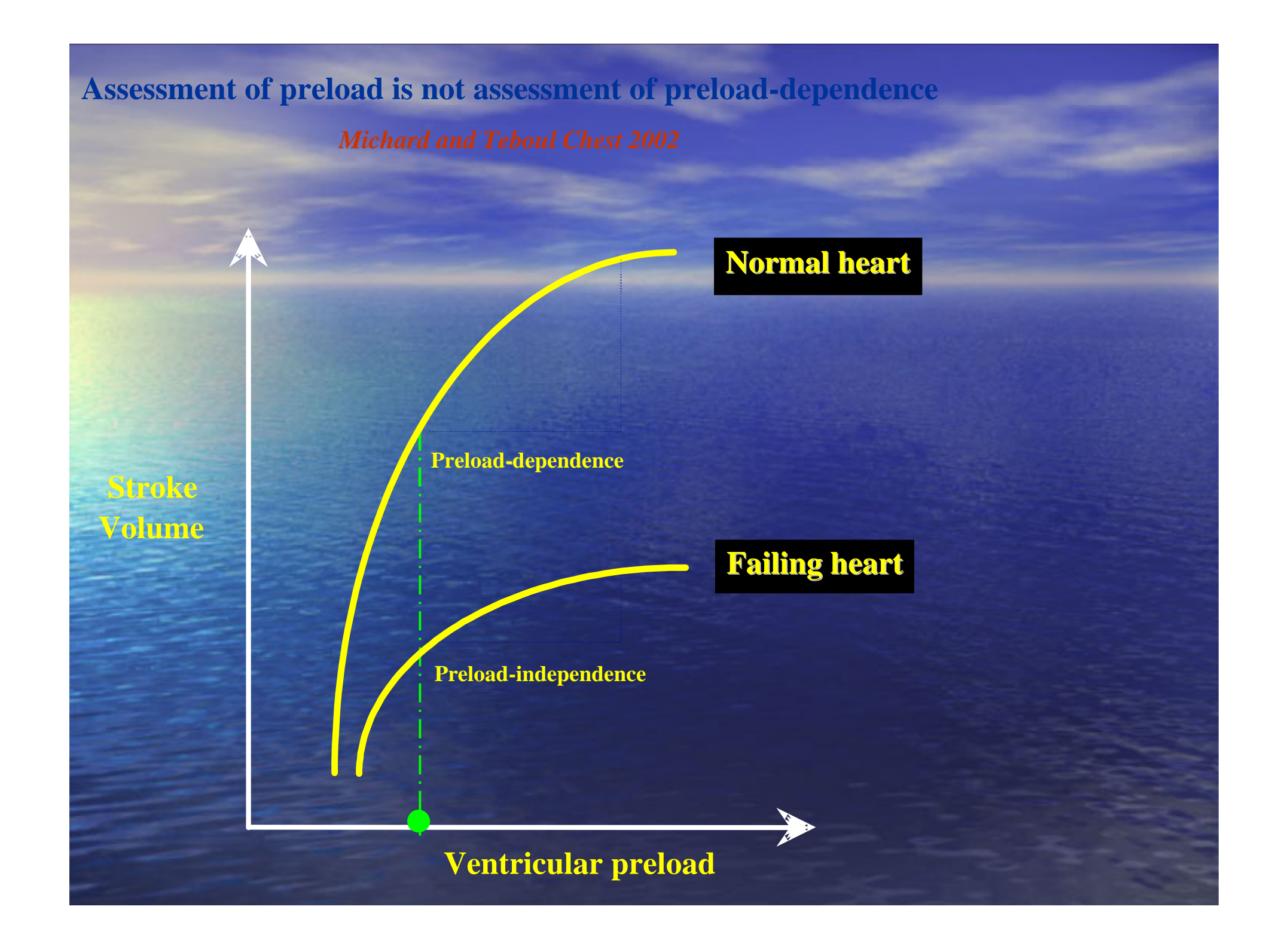
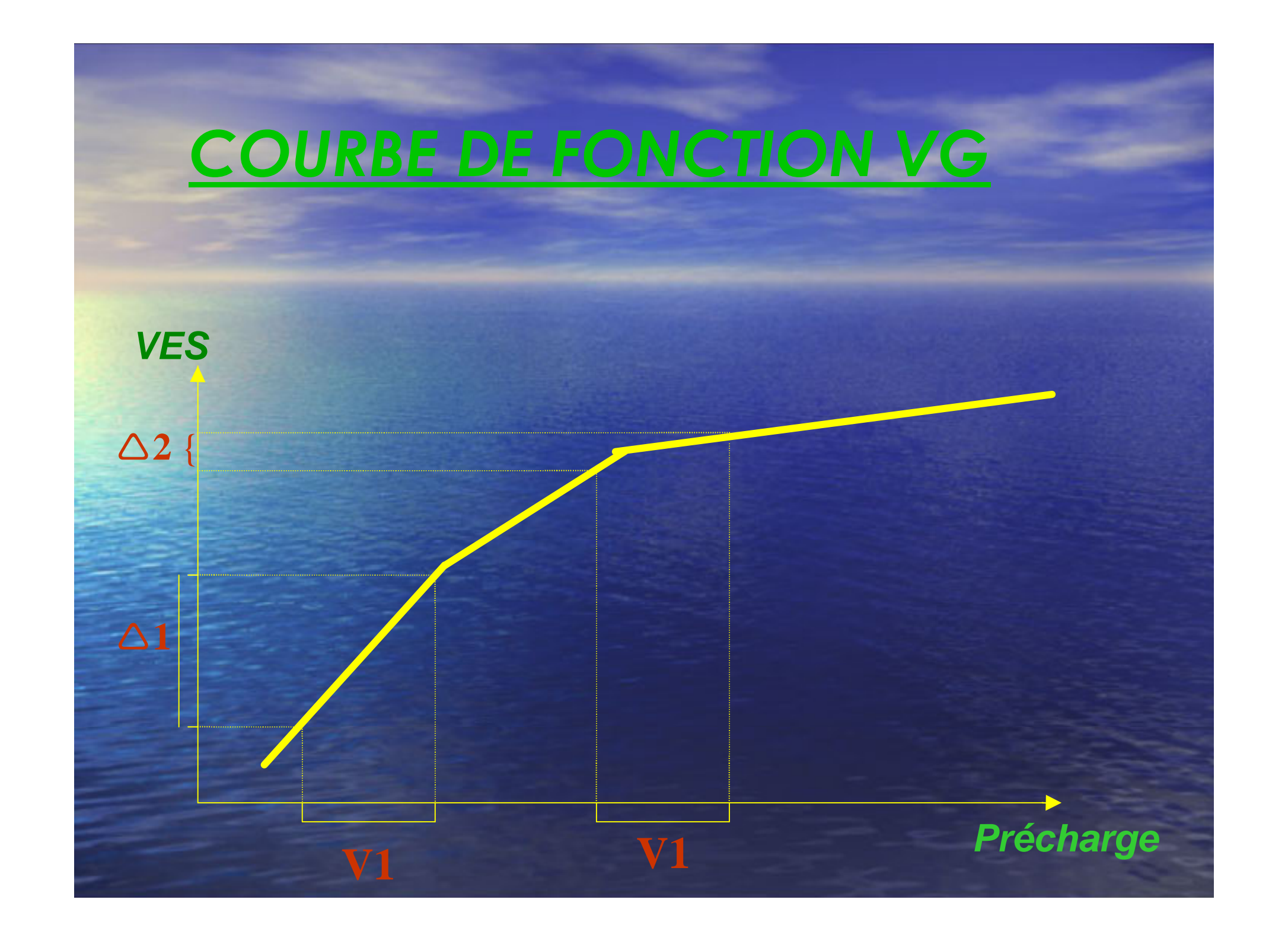


M Feissel
Réanimation et Maladies Infectieuses
CH BELFORT

# Indices classiques d'évaluation de la précharge

les paramètres statiques ne sont pas fiables pour prédire la réponse au RV







- Les outils analysant les variations respiratoires du VESVG:
  - ▲PP à partir du KT artériel
  - **ASVV** par le module PICCO
  - AVPeak et ATTV aortigue en ETT et ETO
  - Ada Vpeak en Doppler oesophagien
  - Appleth par la plethysmographie de l'oxymètre de pouls

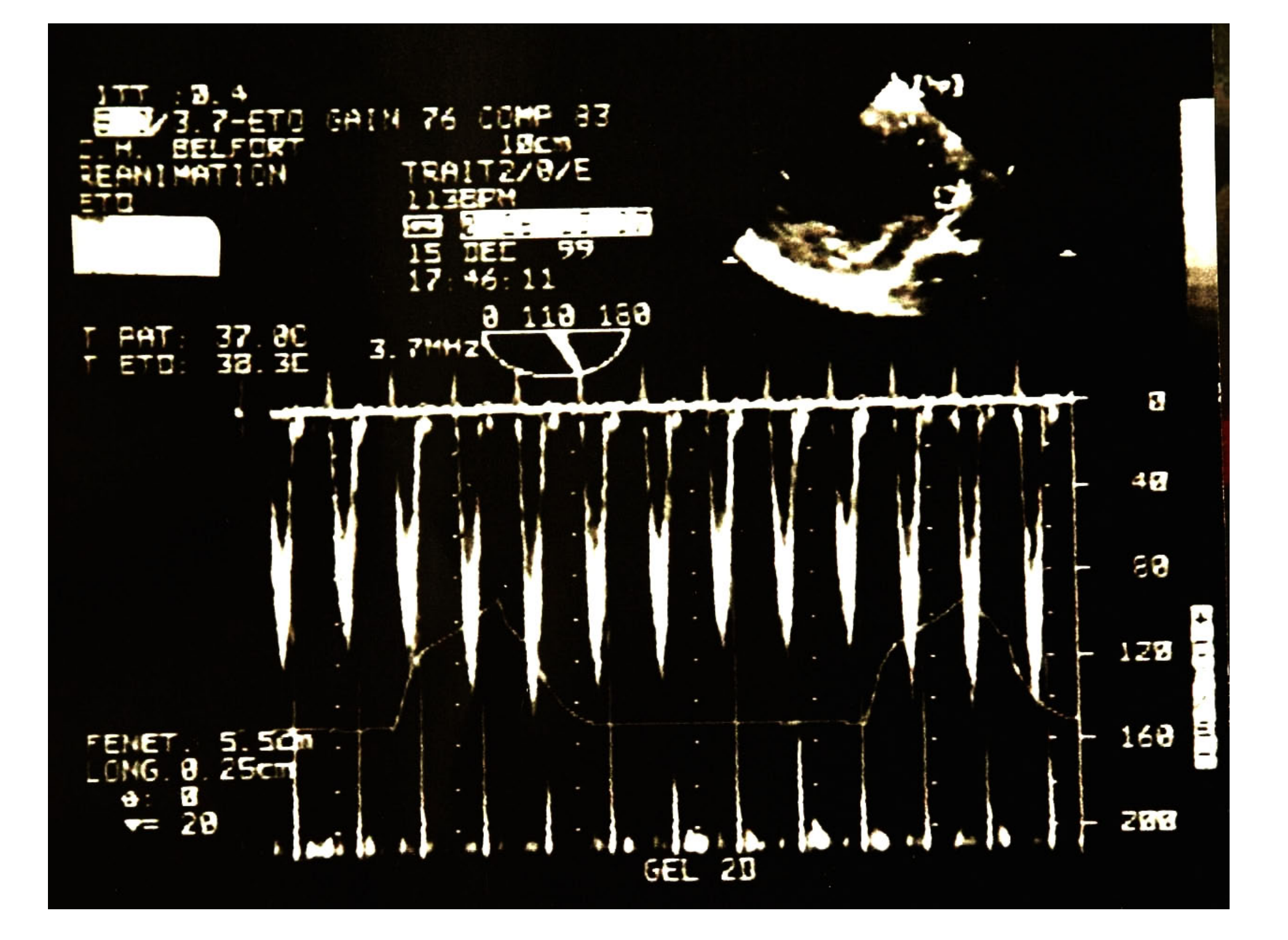


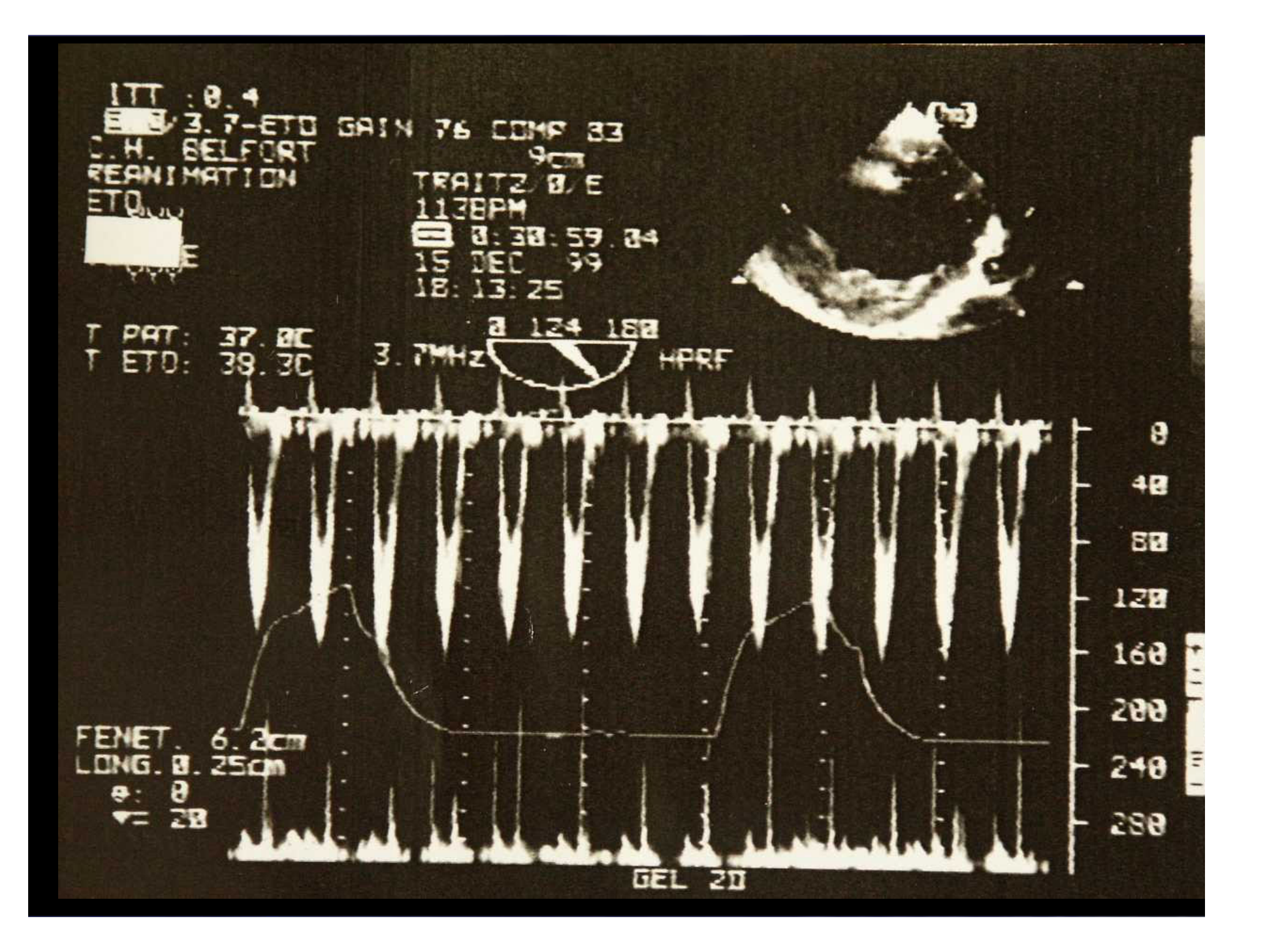
- Les paramètres dynamiques
  - △ Vmax du flux aortique (ETO, ETT)
  - △ ITV du flux aortique (ETO,ETT)

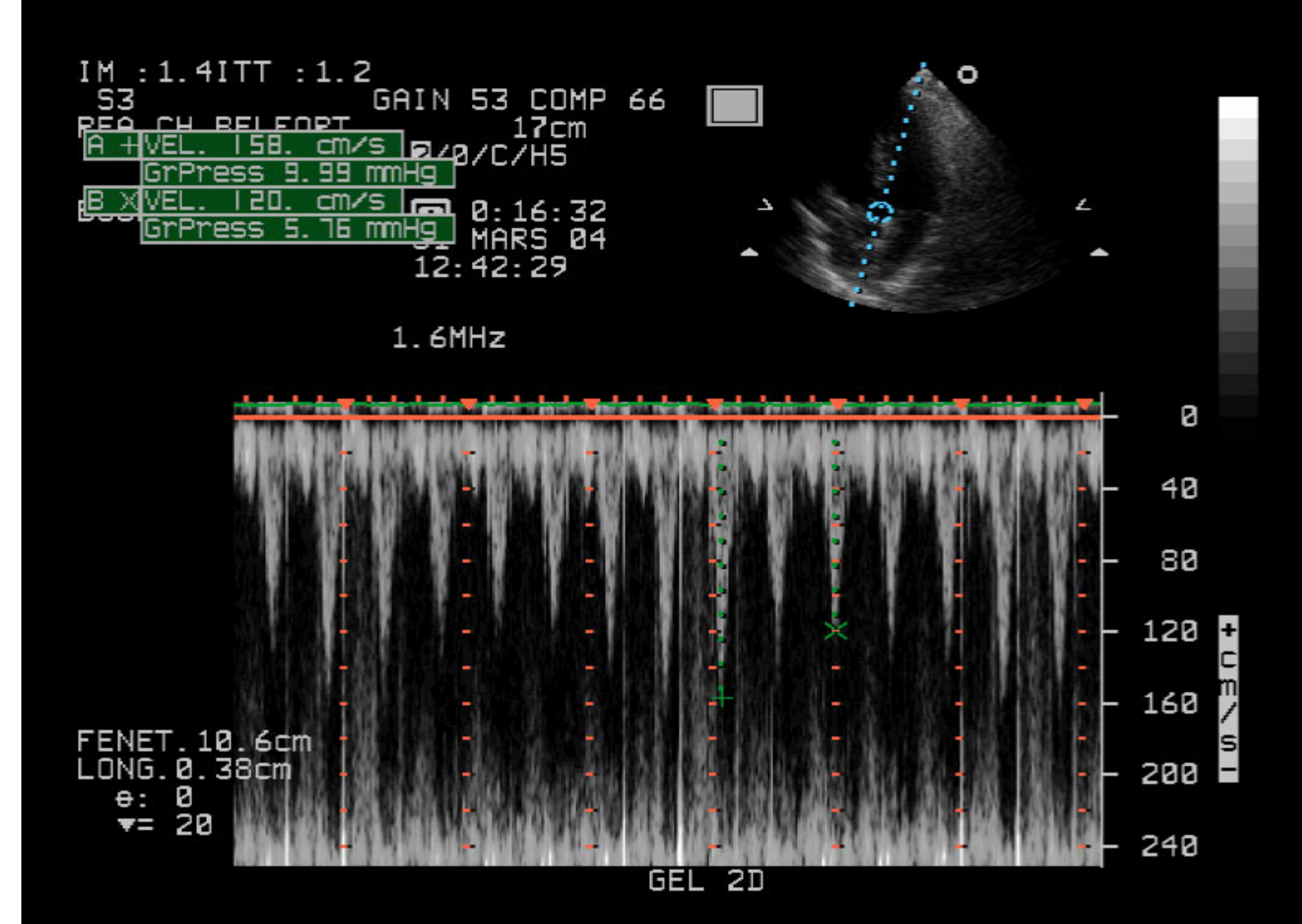
  - Δ Débit Aortique Moyen spontané et suite à une épreuve de LJP en Doppler Oesophagien (EDO)
  - △ du diarnètre de la VCI (ETT)
  - ∆ du diamètre de la VCS (ETO)

## Indices prédictifs écho Doppler de la réponse au RV

- Les paramètres Doppler dynamiques:
  - Les études cliniques
    - La variabilité respiratoire des Vmax du flux aortique
      - $\Delta Vmax = [Vmax-Vmin/(Vmax+Vmin)/2]x10$
      - 19 patients en choc septique sous VAC
      - Les R au RV ont une ΔVmax plus élevée (20+-6%) que les NR (10+-3%)
      - Seuil de 12% discrimine les R des NR avec Se et Spe de 100% et de 89%.
      - Cet indice est sensible aux conditions de charge: le RV diminue le <u>AVmax</u> proportionnellement aux variations du DC.

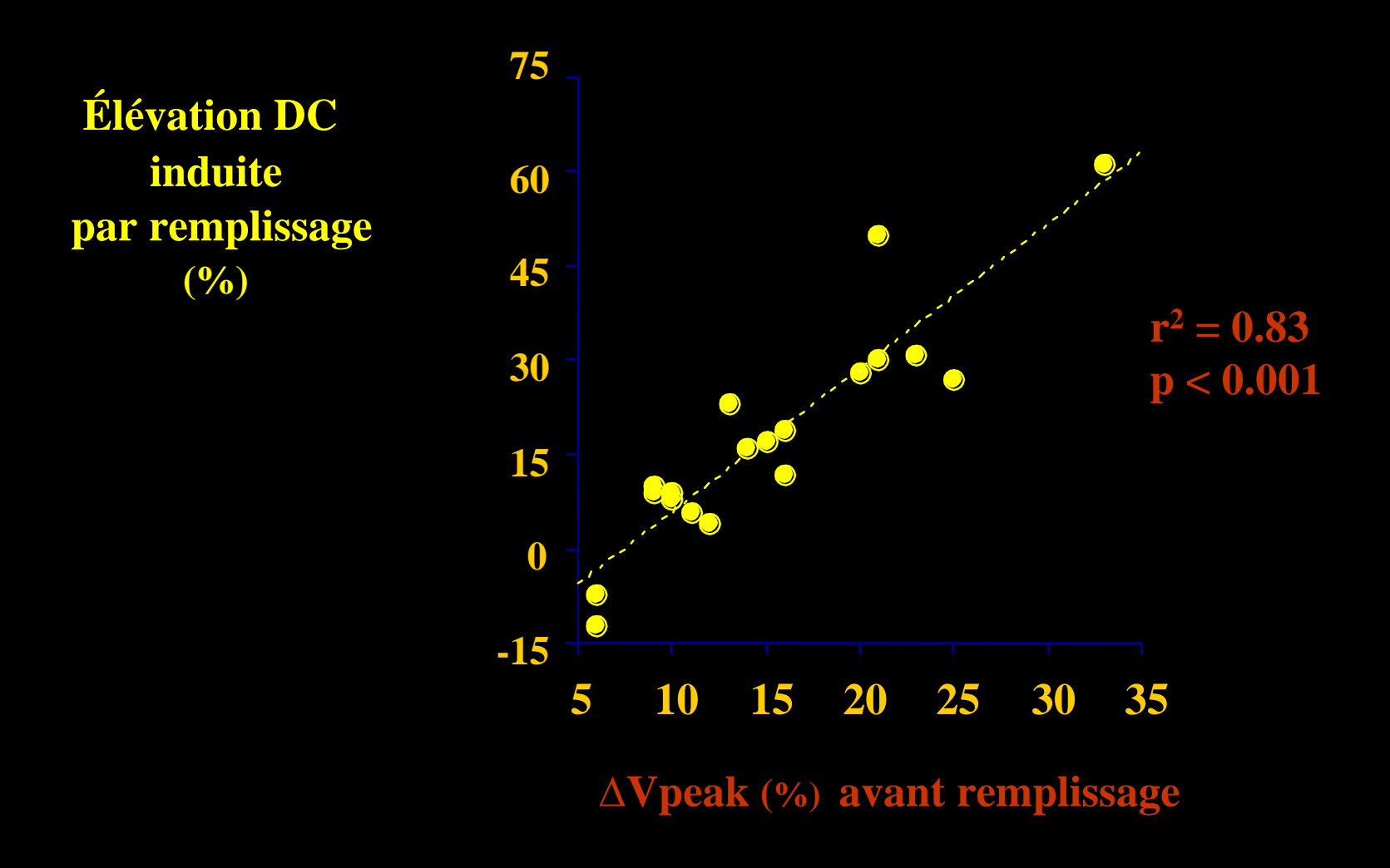






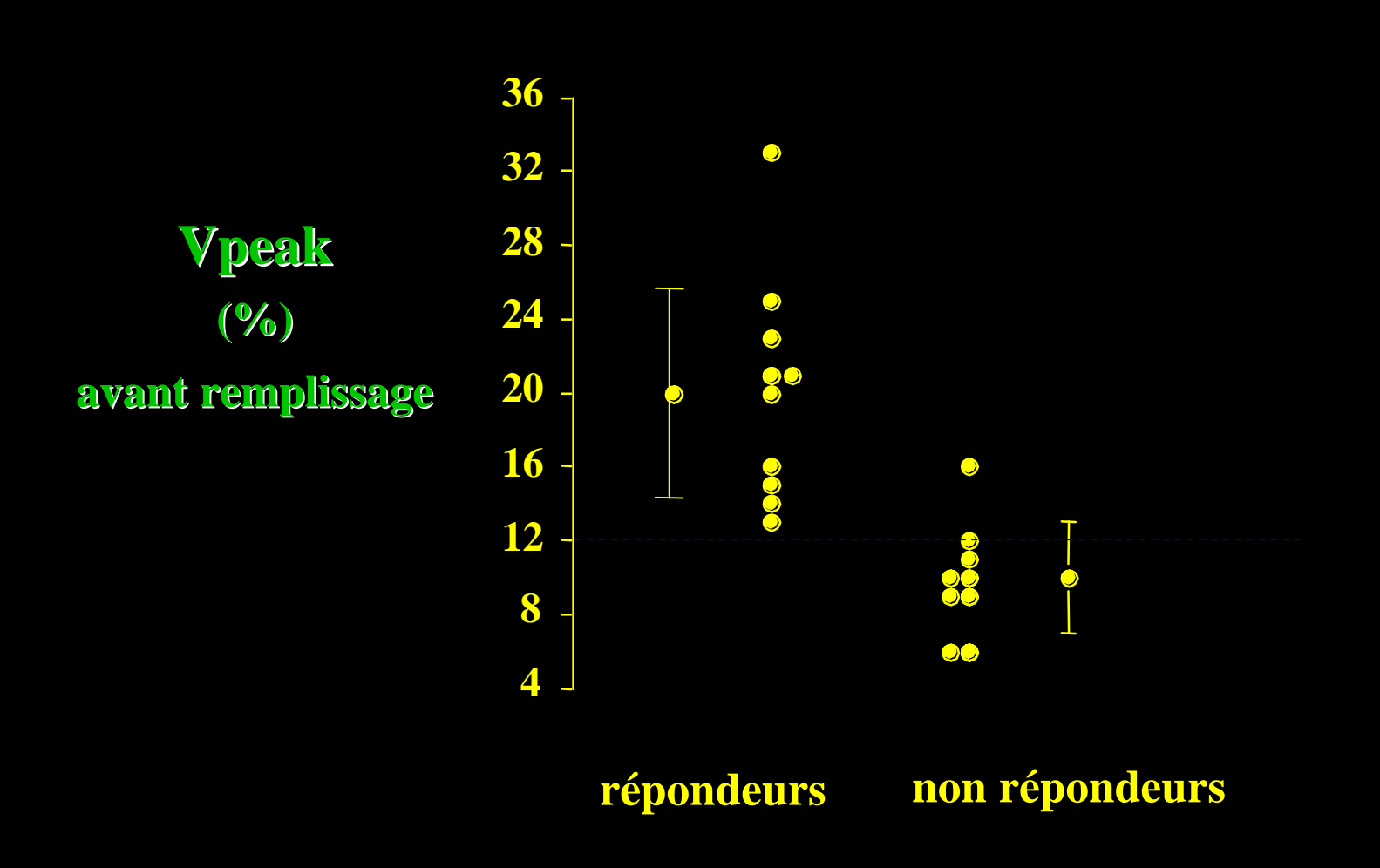
Respiratory changes in aortic blood velocity as an indicator of fluid responsiveness in ventilated patients with septic shock.

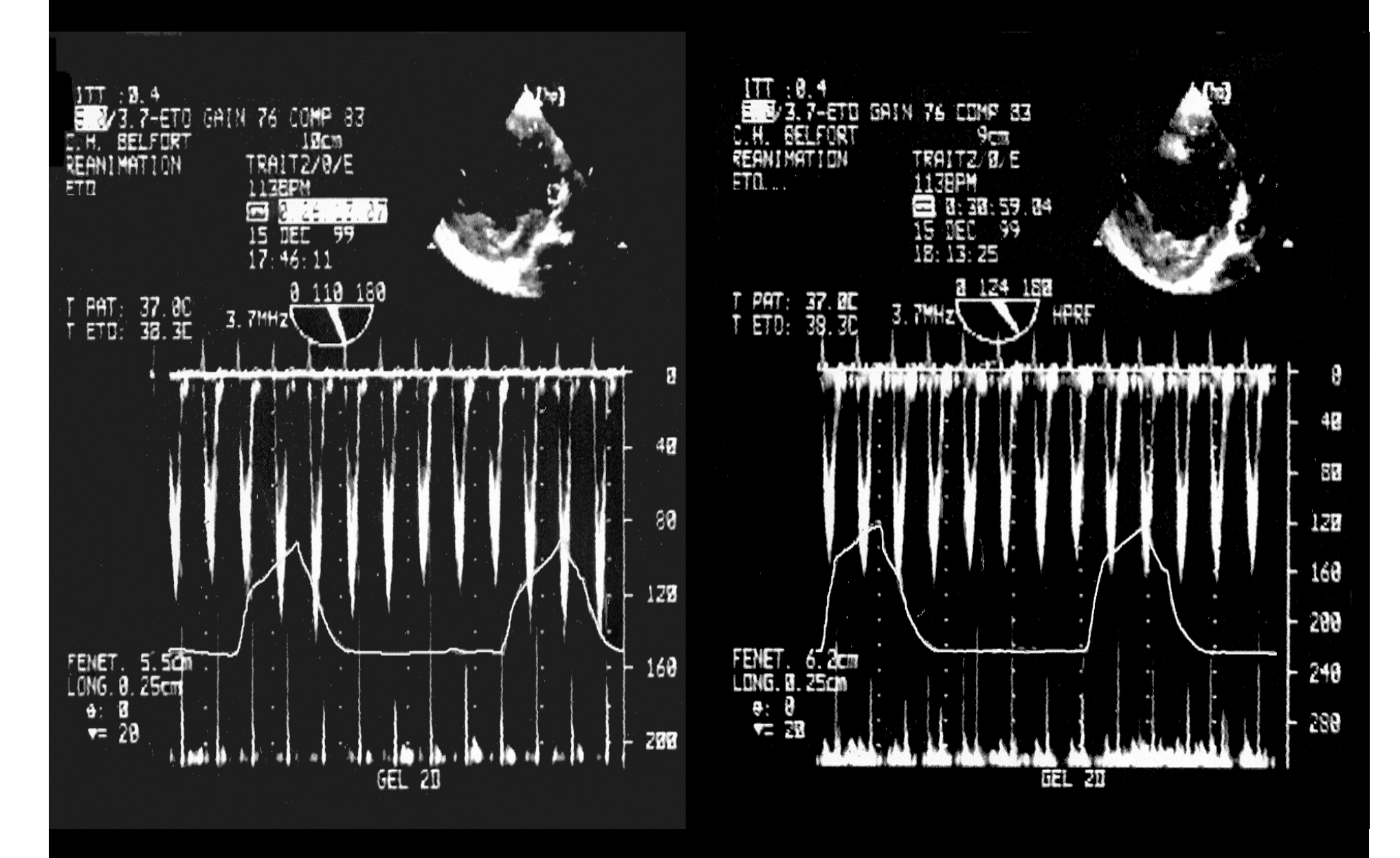
Feissel F, Michard F, Mangin I, Ruyer O, Faller JP, Teboul JL. Chest 2001; 119:867-873



Respiratory changes in aortic blood velocity as an indicator of fluid responsiveness in ventilated patients with septic shock.

Feissel F, Michard F, Mangin I, Ruyer O, Faller JP, Teboul JL. Chest 2001; 119:867-873



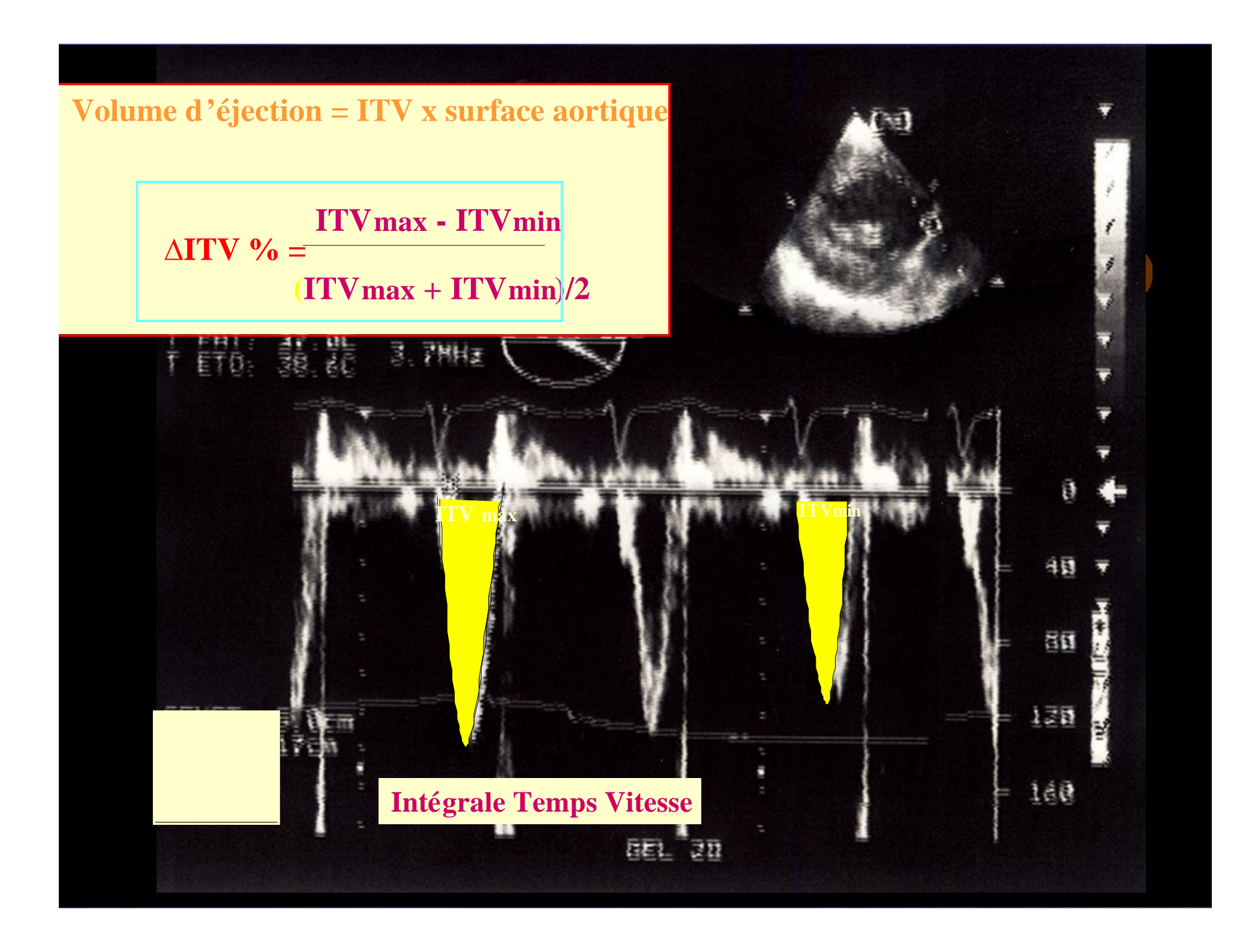


# Indices prédictifs écho Doppler de la réponse au RV

- Les paramètres Doppler dynamiques:
  - Les études cliniques
    - La variabilité respiratoire des ITV du flux aortiques

 $\Delta ITV = [ITVmax-ITVmin/(ITVmax+ITVmin)/2]x100$ 

- 12 lapins sous VAC saignée induisant hypovolémie
  - ❖ Bonne corrélation (r=0.80) entre l'hypovolémie induite et les variations de △ITV: plus l'animal est hypovolémique plus l'indice est de grande amplitude
  - Inversement le remplissage corrigeant l'hypovolémie induit une diminution de l'indice qui est bien corrélé (r=0,83) aux variations du VESVG



## Indices prédictifs écho Doppler de la réponse au RV

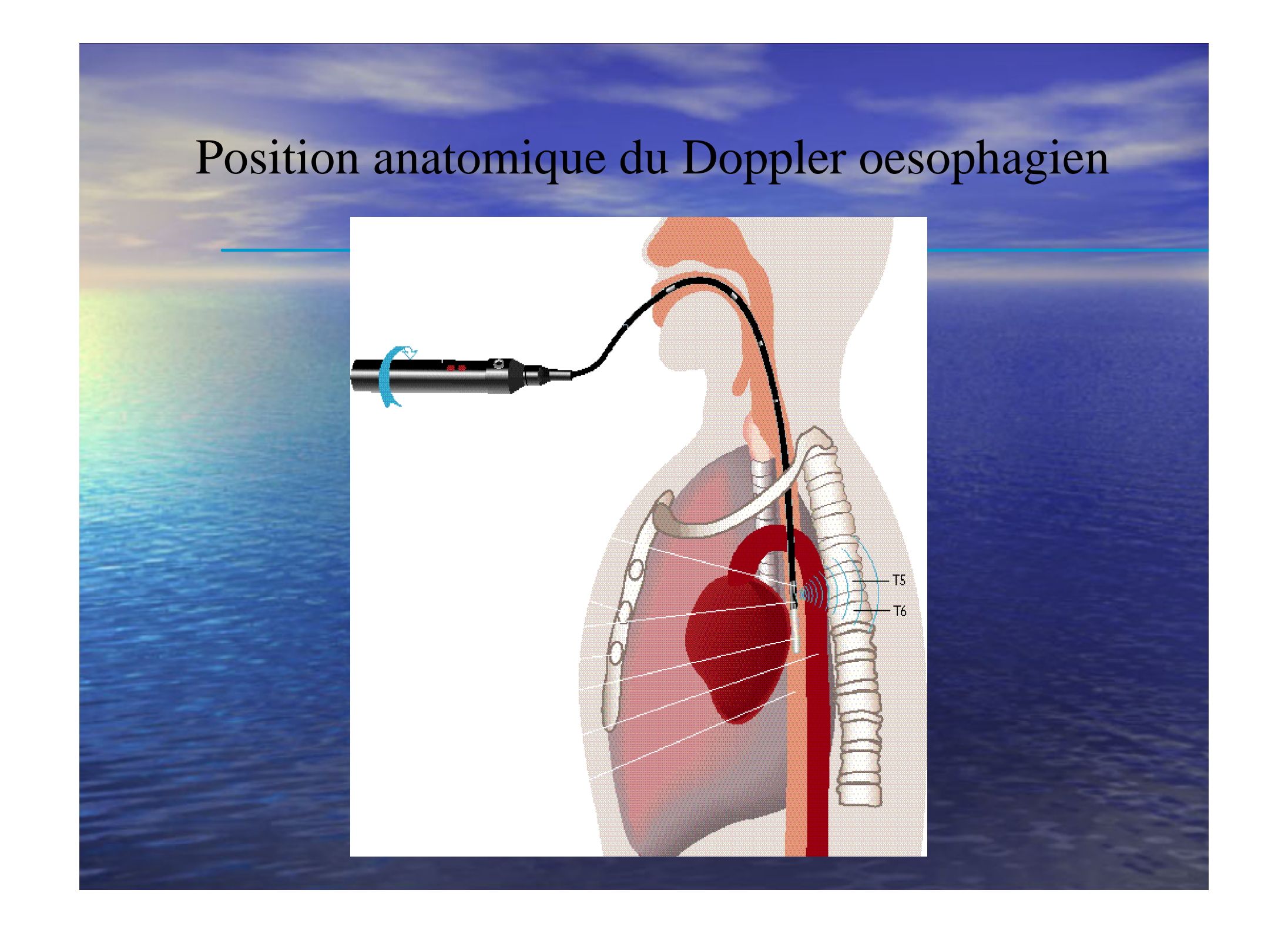
- Les limites de ces paramètres:
  - Rythme régulier
  - Patient sous ventilation mécanique parfaitement adapté au respirateur (pas d'effort inspiratoire)
  - Position de la fenêtre du Doppler Pulsée
  - Mouvement du cœur dans le thorax
  - Étude en ETO (extrapolation à l'ETT!!)
  - Échogénicité du patient
  - Paramètres de la ventilation classique (SDRA et petit volume courant!!)
  - Absence d'HTAP (blocage pulmonaire et faux Positifs)
  - Analyse souvent ponctuelle (monitorage non aisé)

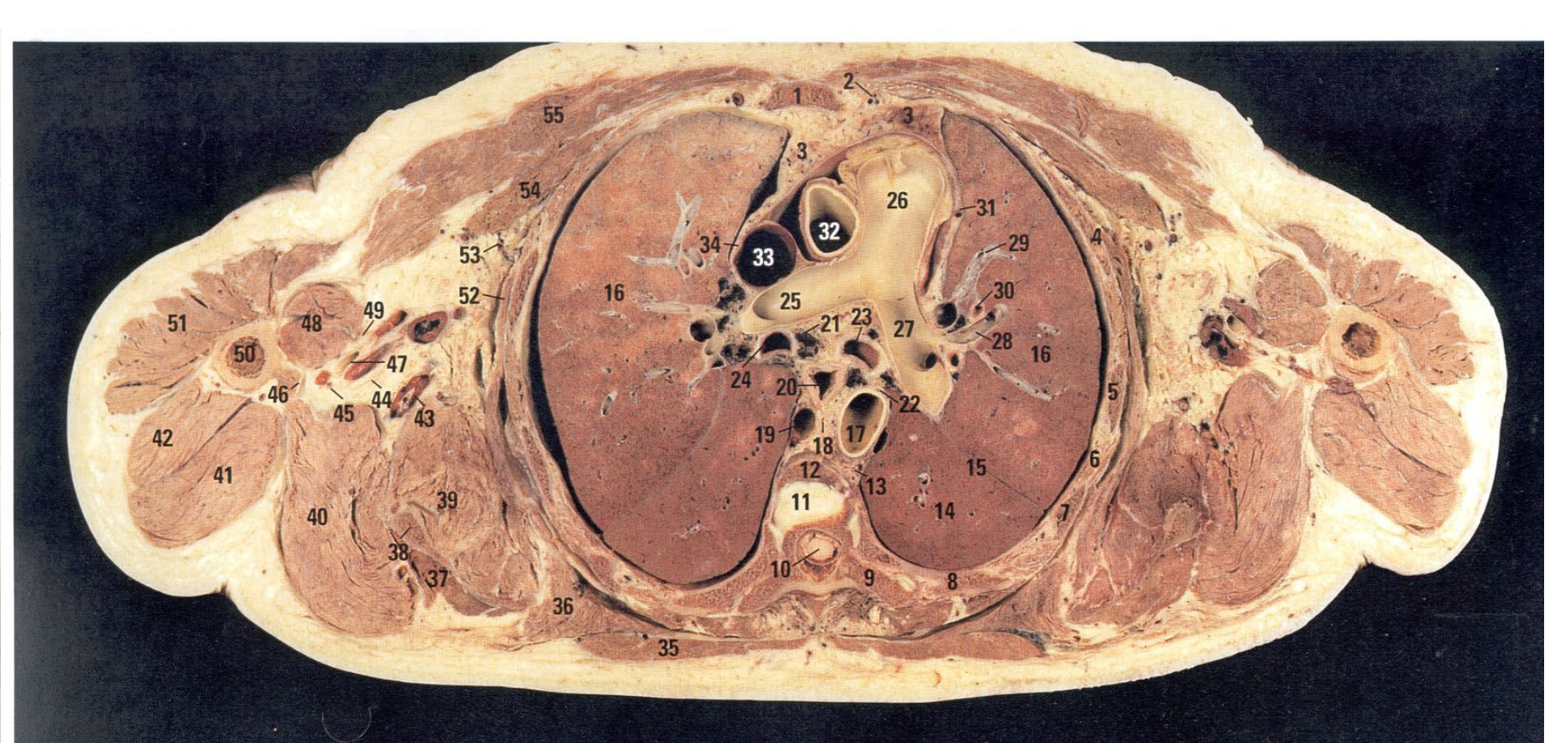


### Les avantages de ces paramètres:

- Application de principes physiologiques bien établis
- Compréhension aisée des phénomènes
- Application clinique au lit du patient
- Reproductible si mêmes conditions d'analyse







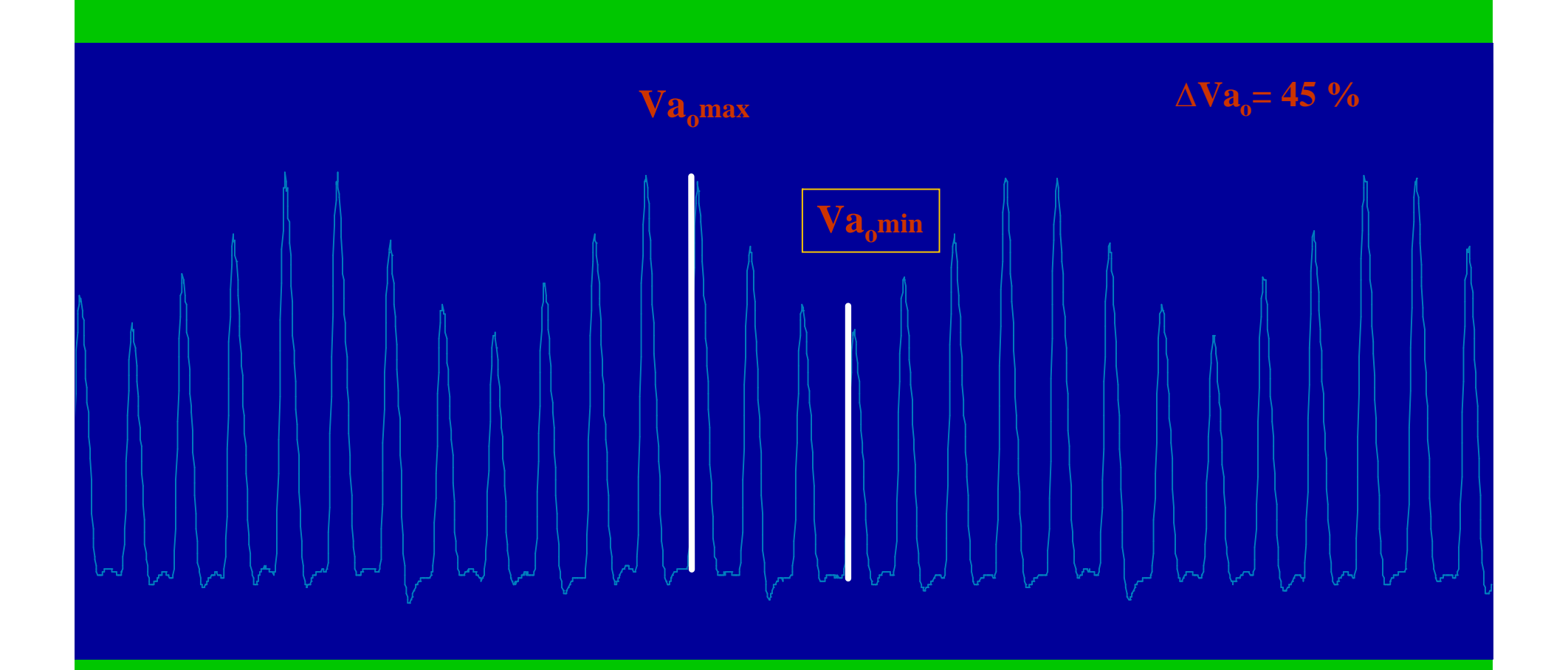
- 1 Body of sternum
- 2 Internal thoracic artery and vein
- 3 Thymic residue within anterior mediastinal fat
- 4 Third rib
- 5 Fouth rib
- 6 Intercostal muscles
- 7 Fifth rib
- 8 Sixth rib
- 9 Transverse process of sixth thoracic vertebra
- 10 Spinal cord within dural sheath
- 11 Part of intervertebral disc between fifth and sixth thoracic vertebra
- 12 Part of body of fifth thoracic vertebra

- 13 Intercostal artery and vein
- 14 Lower lobe of lung
- 15 Oblique fissure
- 16 Upper lobe of lung
- 17 Descending aorta
- 18 Thoracic duct
- 19 Azygos vein 20 Oesophagus
- 21 Lymph node
- 22 Left vagus nerve (X)
- 23 Left main bronchus
- 24 Right intermediate bronchus
- 25 Right pulmonary artery
- 26 Pulmonary trunk
- 27 Left pulmonary artery
- 28 Pulmonary artery branch

- 29 Pulmonary vein tributary
- 30 Segmental bronchus
- 31 Left phrenic nerve with pericardiacophrenic artery
- 32 Ascending aorta
- 33 Superior vena cava
- 34 Right phrenic nerve
- 35 Trapezius
- 36 Rhomboideus major
- 37 Infraspinatus
- 38 Scapula
- 39 Subscapularis
- 40 Teres major
- 41 Triceps long head
- 42 Triceps lateral head
- 43 Subscapular artery and vein

- 44 Ulnar nerve
- 45 Radial nerve
- 46 Latissimus dorsi tendon
- 47 Axillary artery and vein
- 48 Biceps and coracobrachialis
- 49 Median nerve
- 50 Shaft of humerus
- 51 Deltoid
- 52 Serratus anterior
- 53 Lateral thoracic artery and vein
- 54 Pectoralis minor
- 55 Pectoralis major
- 56 Superior pulmonary vein
- 57 Left basal pulmonary artery
- 58 Breast

### Respiratory changes of aortic blood flow velocity in an animal model of hemorrhagic shock

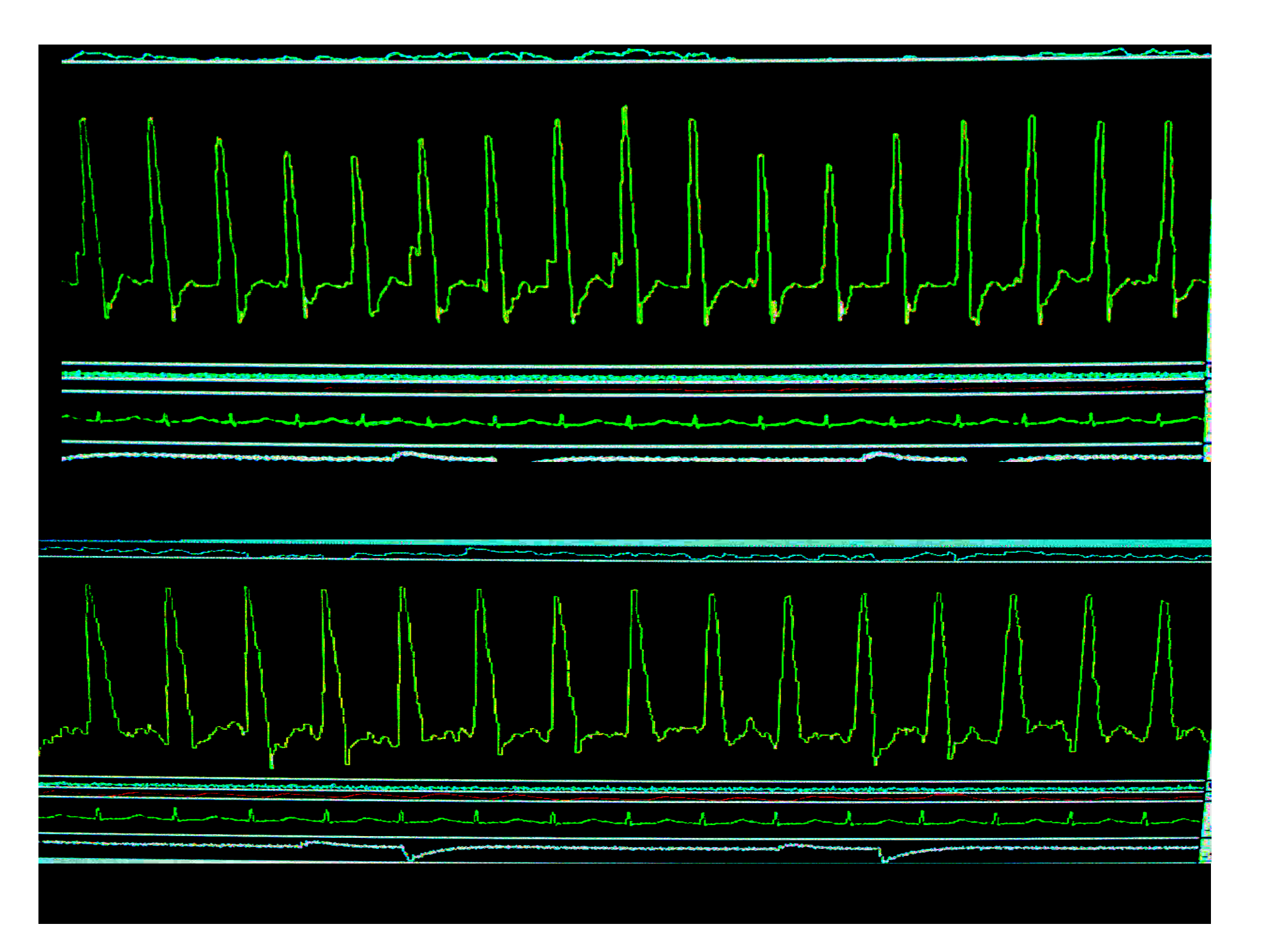


# Indices prédictifs Doppler de la réponse au RV

- Doppler oesophagien
  - -La variabilité respiratoire des Vmax du flux aortique mesurés en Doppler Oesophagien

(Feissel et coll Réanimation 2003 SP 276)

- 20 patients en choc septique sous VAC
- Les R au RV ont une ΔdoVmax plus élevée (24+-9%) que les NR (7,5+-5%)
- Corrélation linéaire satisfaisante entre la valeur de base de AdoVmax et le % d'augmentation du DAM suite à un RV (r=0,80)
- Seuil de 14% discrimine les R des NR avec une Se et une Spe de 100%.





La variabilité respiratoire du débit aortique oesophagien instantanée

(Monnet et coll: Intensive Care Med 2005; 31: 1195-201).

- Inclusion de 38 patients sous VAC en rythme sinusal et parfaitement bien adapté au respirateur.
- Les AVPeak étaient plus amples chez les R/NR.
- Un ∆VPeak ≥13% est prédictif d'une réponse au RV (≥15% de DAM) avec une Se et une Spe de 80% et 72%.



La variabilité respiratoire du débit aortique oesophagien instantanée

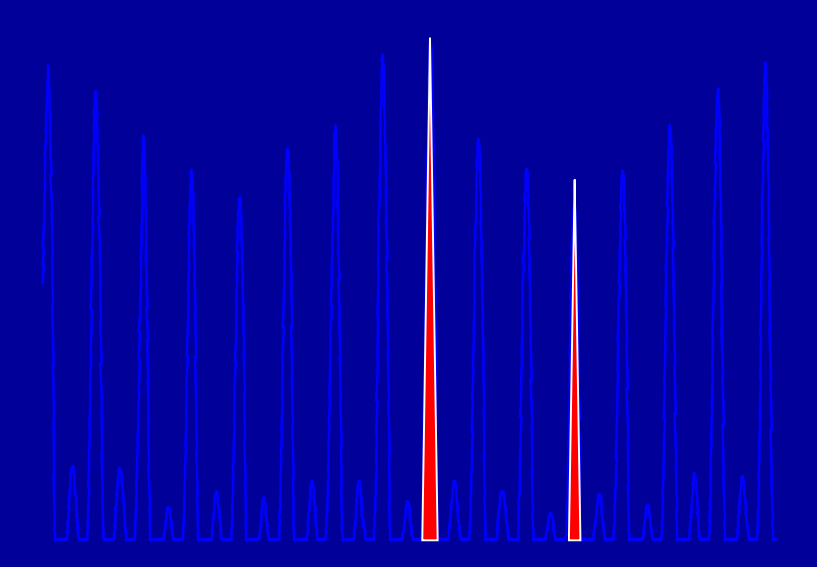
(Monnet et coll: Intensive Care Med 2005; 31: 1195-201).

- Avant RV, Jes ADAM sont plus amples chez les R/NR (28±12% vs 12±5%)
- Une △DAM de plus de 18% avant RV est prédictif d'une augmentation du DAM (≥ 15% après RV) avec une Se de 90% et une Spe de 94%.

#### X Monnet, M Rienzo, C Richard, D Osman, N Anguel, MR Pinsky, JL Teboul.

Non invasive assessment of volume responsiveness in ventilated and sedated patients: value of respiratory variation of aortic blood flow and response to passive leg raising using transesophageal Doppler. ATS 2004

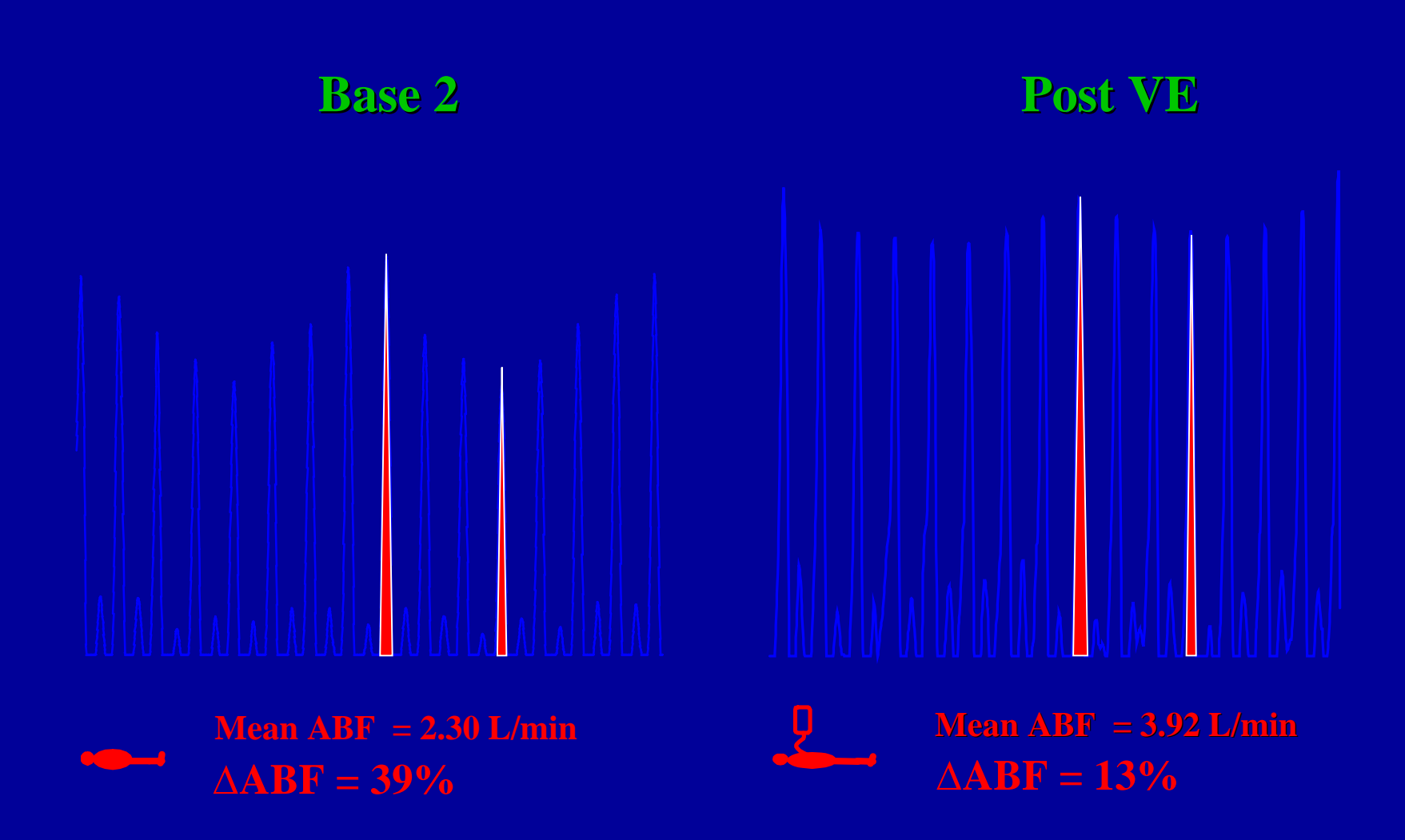
#### Base



Mean ABF = 2.30 L/min  $\triangle ABF = 39\%$ 

#### X Monnet, M Rienzo, C Richard, D Osman, N Anguel, MR Pinsky, JL Teboul.

Non invasive assessment of volume responsiveness in ventilated and sedated patients: value of respiratory variation of aortic blood flow and response to passive leg raising using transesophageal Doppler. ATS 2004





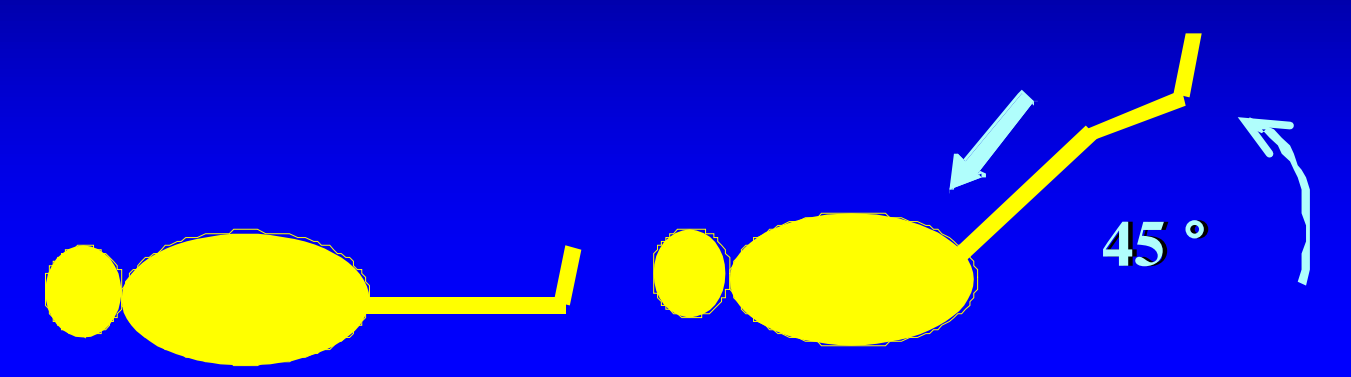
 La variabilité respiratoire du débit aortique oesophagien suite à une épreuve de levé de jambe passif.

(Monnet et coll : Crit Care Med 2006;34:1402-07)

- Intérêt de cette étude qui inclus des patients en arythmie et avec des efforts de respiration spontanée (22 patients en arythmie et 11 avec effort inspiratoire/71patients)
- R patients qui augmentent leurs DAM >15%(37/71) et inversement (34/71 NR).

### Passive leg raising

Venous blood shift (Rutlen et al. 1981, Reich et al. 1989)



Increase in right ventricular preload (Thomas et al 1965)
Increase in left ventricular preload (Rocha 1987, Takagi 1989, De Hert 1999)

Increase in CO by 6-10 % in volunteers (Gaffney 1982, Wong 1989, Paelinck 2003)

Increase in CO by more than 10 % in only 16 % of critically ill patients (Wong 1988)

**Transient effect** (Gaffney 1982)

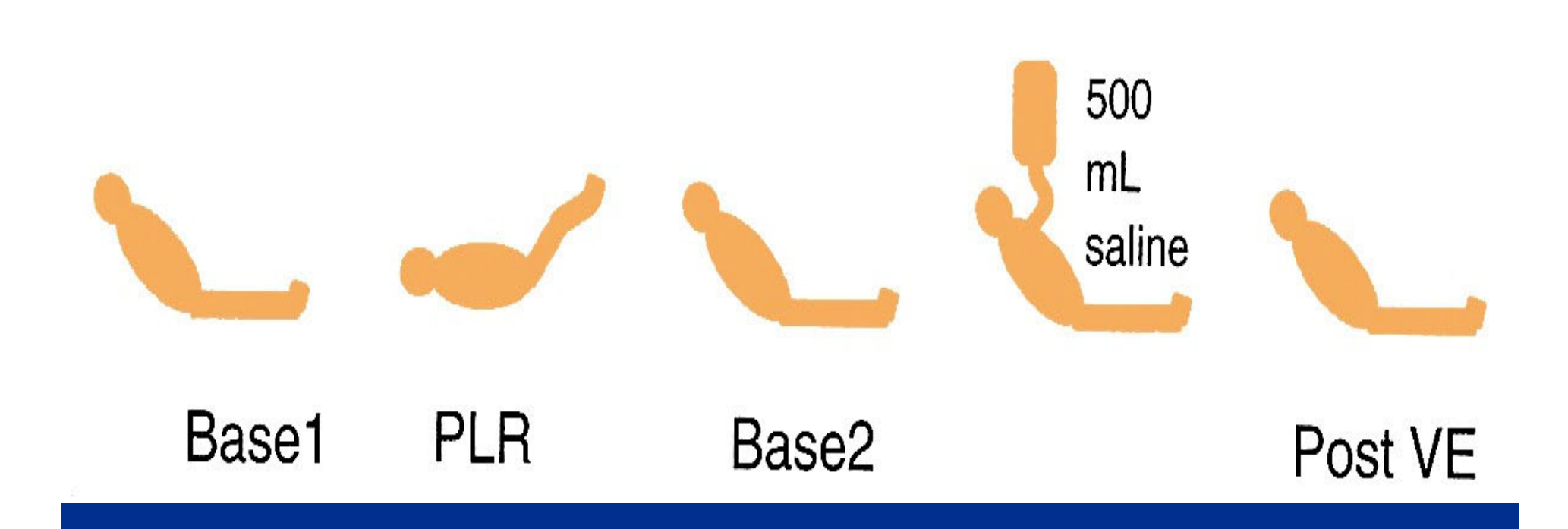


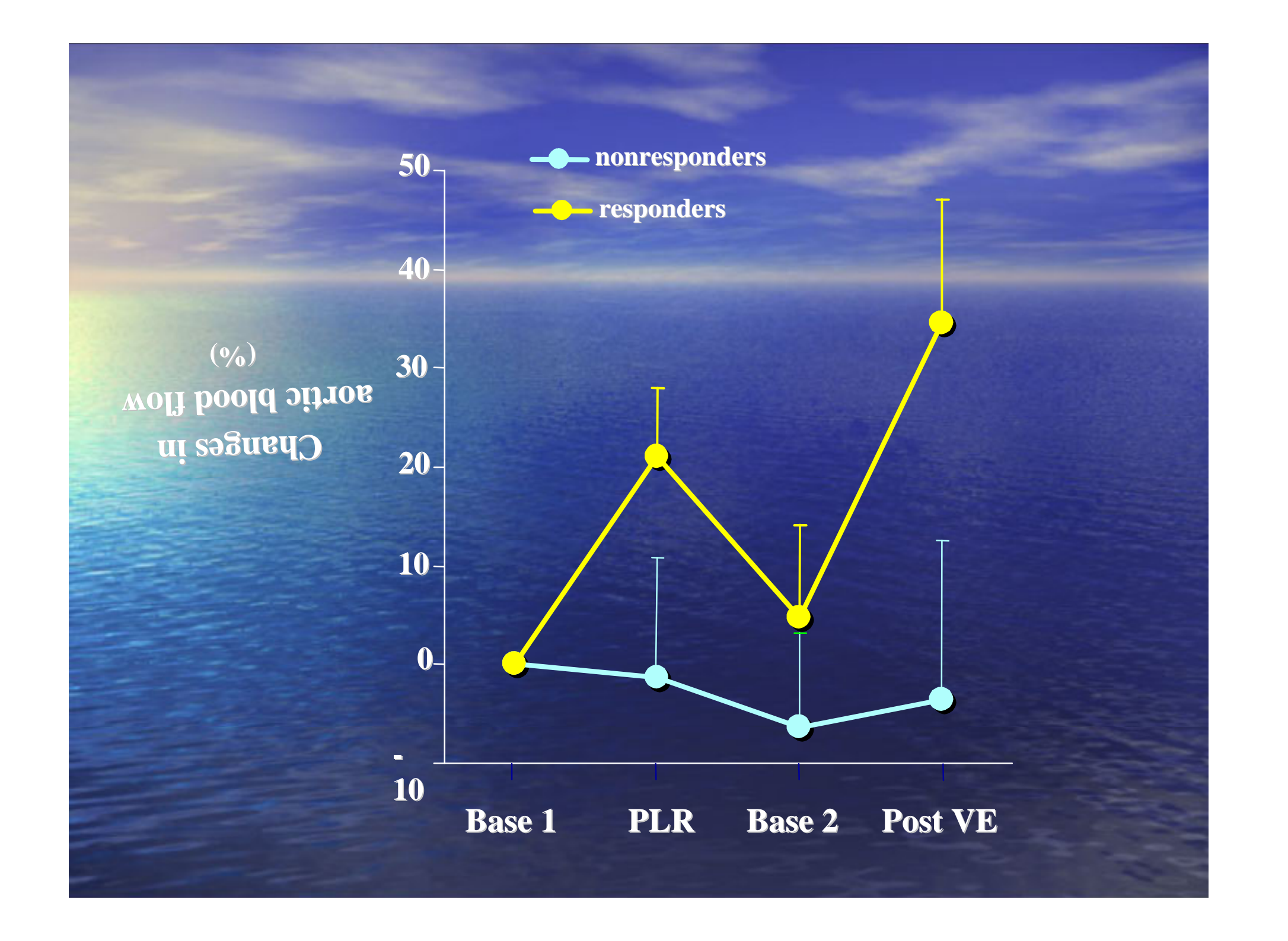
 La variabilité respiratoire du débit aortique oesophagien suite à une épreuve de levé de jambe passif.

(Monnet et coll : Crit Care Med 2006;34:1402-07)

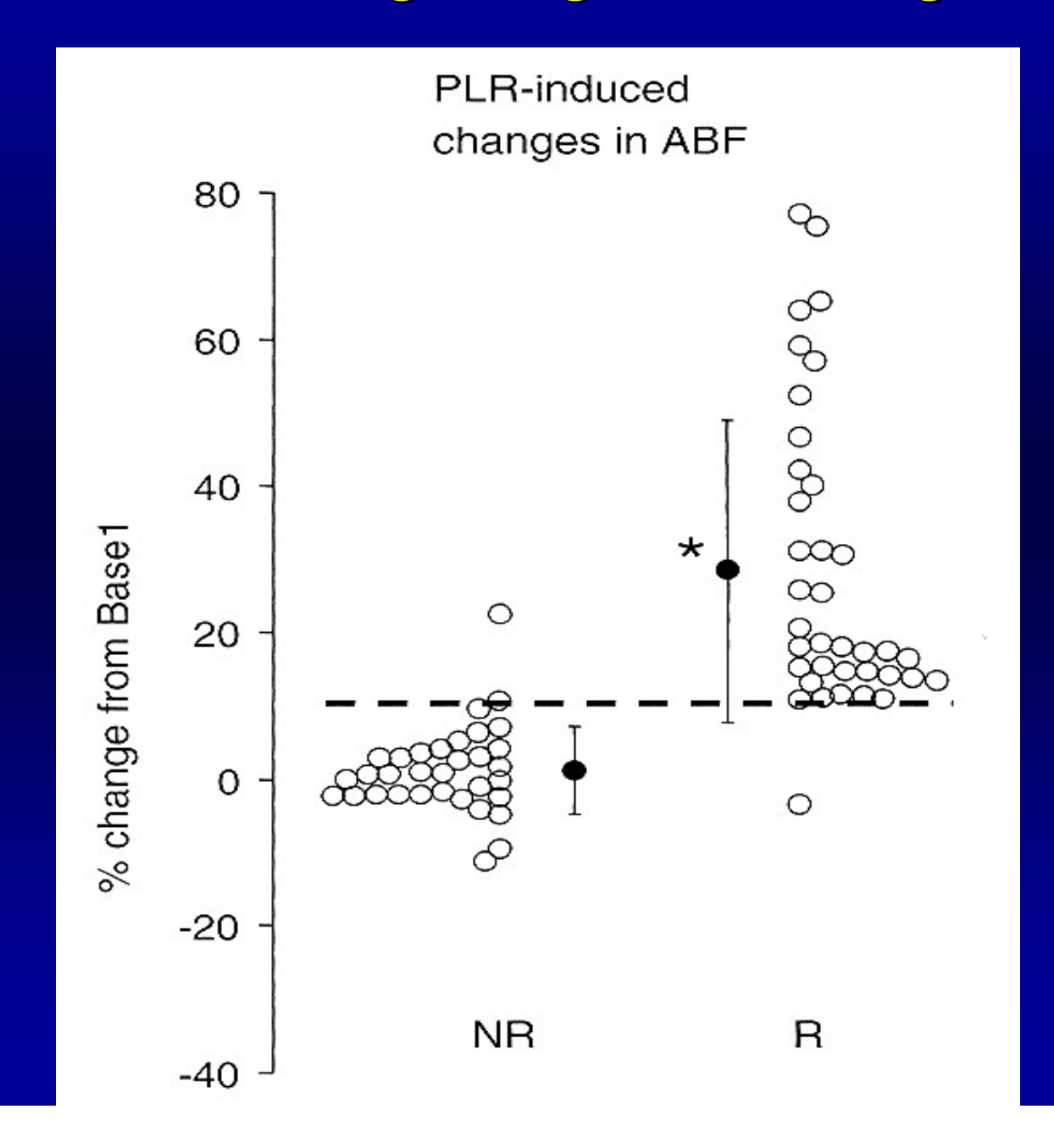
- L'augmentation du DAM de plus de 10% suite à une Epreuve de Levé de Jambe Passif permet de prédire l'augmentation du DAM suite à un RV avec une Se de 97% et une Spe de 94%.
- En cas d'arythmie ou d'effort inspiratoire, seule la ΔDAM est fiable pour bien classer les patients en R et NR!!
   (ΔPP n'est pas valable!!)

### La variabilité respiratoire du débit aortique oesophagien suite à une épreuve de levé de jambe passif.





#### Passive leg raising-induced changes in aortic blood flow



Cut-off value: 10%

Se = 97 %

Sp = 94 %



- Les limites de ces paramètres:
  - Position de la sonde du Doppler Pulsée (guidée par la visualisation des parois de l'aorte, ou en aveugle et guidée par la vélocité maximale)
  - Mobilité de la sonde dans l'œsophage
  - Le calcul des variations de DAM n'est pas intégré dans l'appareil et nécessite un logiciel spécifique.
  - Les valeurs proposées par ces études l'ont été sous VAC conventionnelle (Vt≥8ml/kg).

## Limites de ces paramètres issues du Doppler oesophagien.

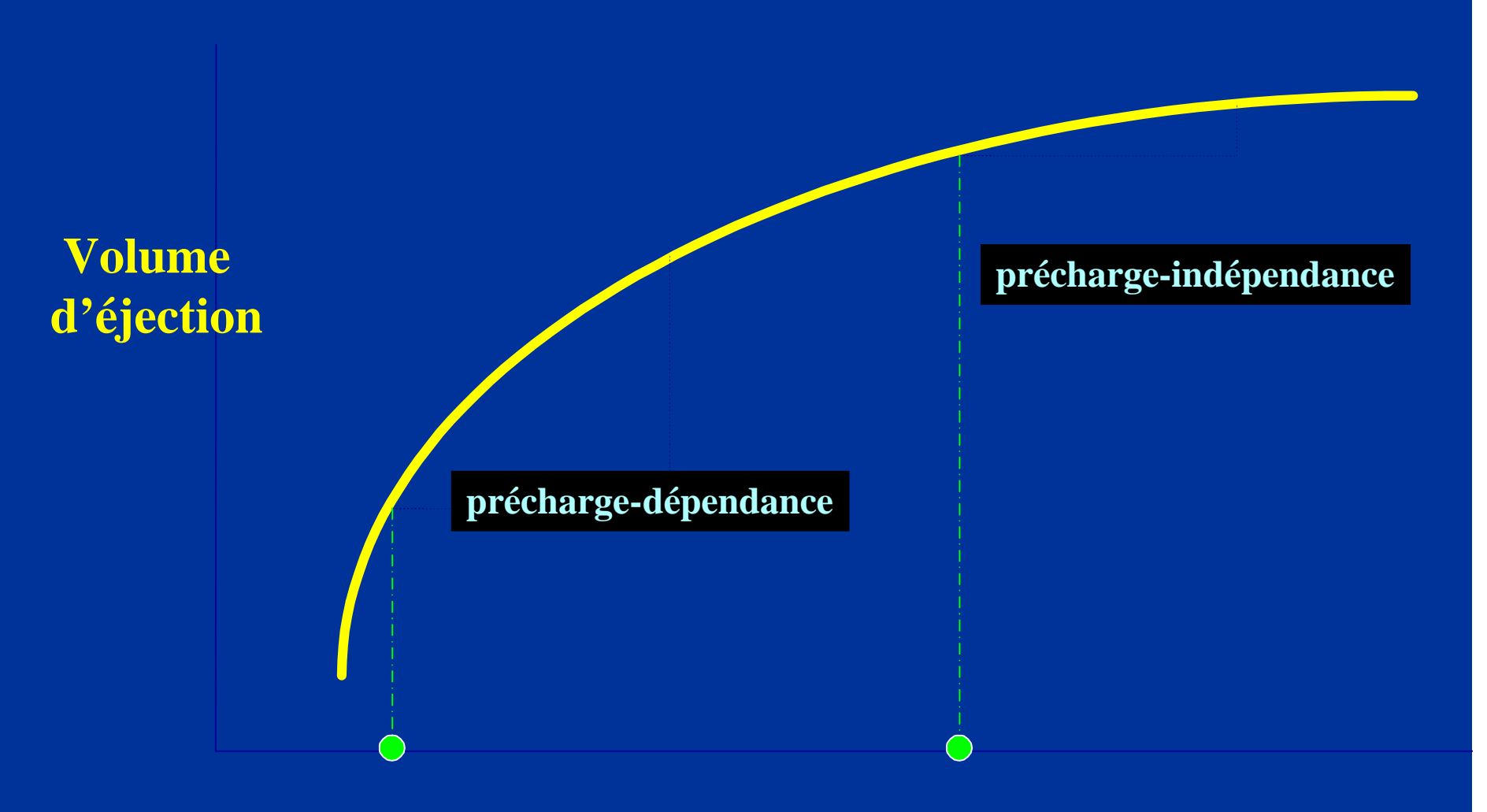
### Les avantages de ces paramètres:

- Application de principes physiologiques bien établis
- Compréhension aisée des phénomènes
- Application clinique au lit du patient
- Reproductible si mêmes conditions d'analyse
- Surveillance continue autorisant un Monitorage hémodynamique



- Le Principe de la forte probabilité de précharge dépendance
  - Par la mise en évidence d'une précharge basse ou d'une réserve de précharge
    - étude de la variabilité du diamètre de la VCI sous VAC en ETT
  - Par la mise en évidence d'une hypovolémie du secteur central
    - étude de la variabilité du diamètre de la VCS sous VAC en ETO

Plus basse est la précharge, plus probable est la précharge-dépendance



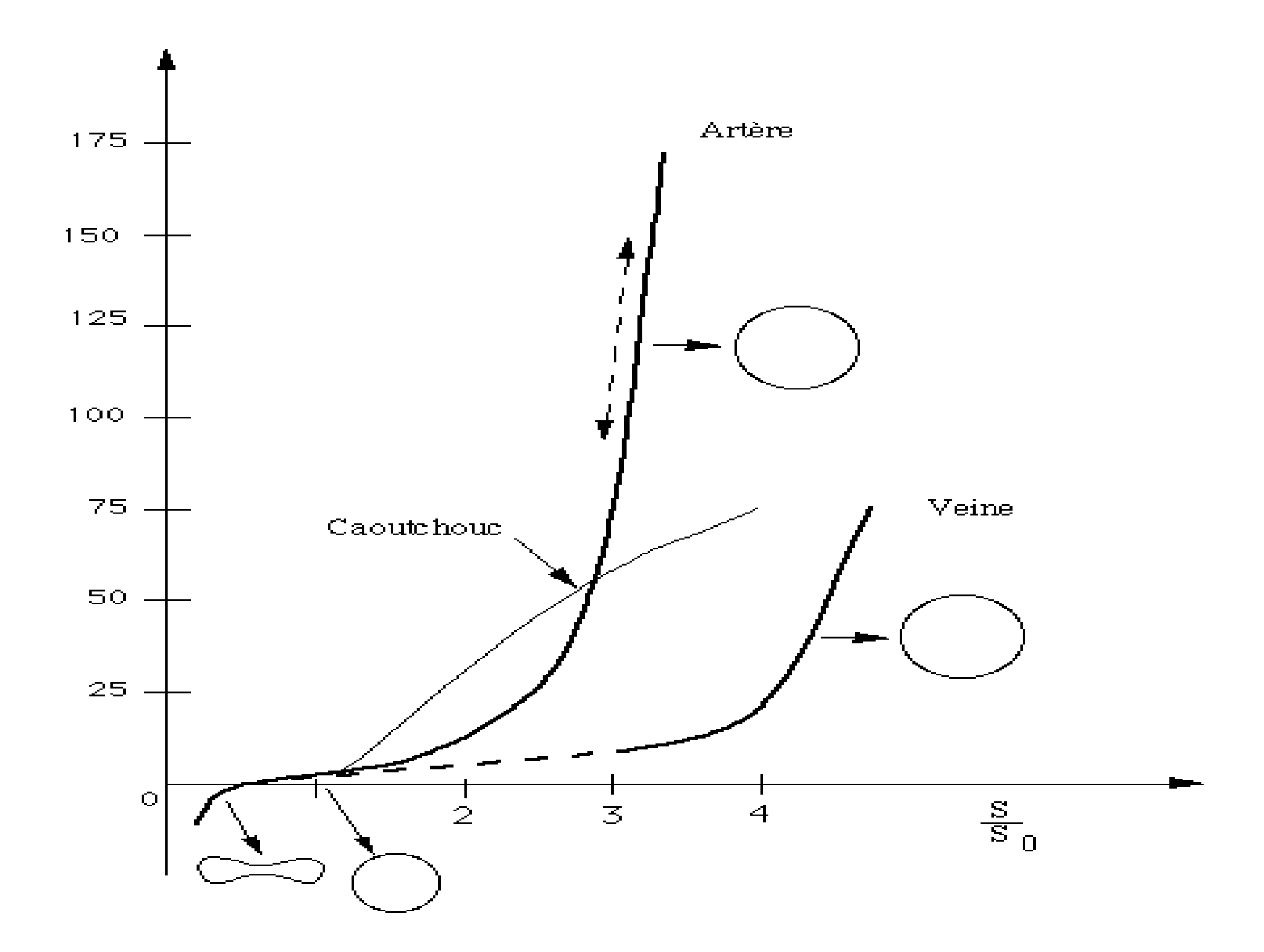
Précharge ventriculaire

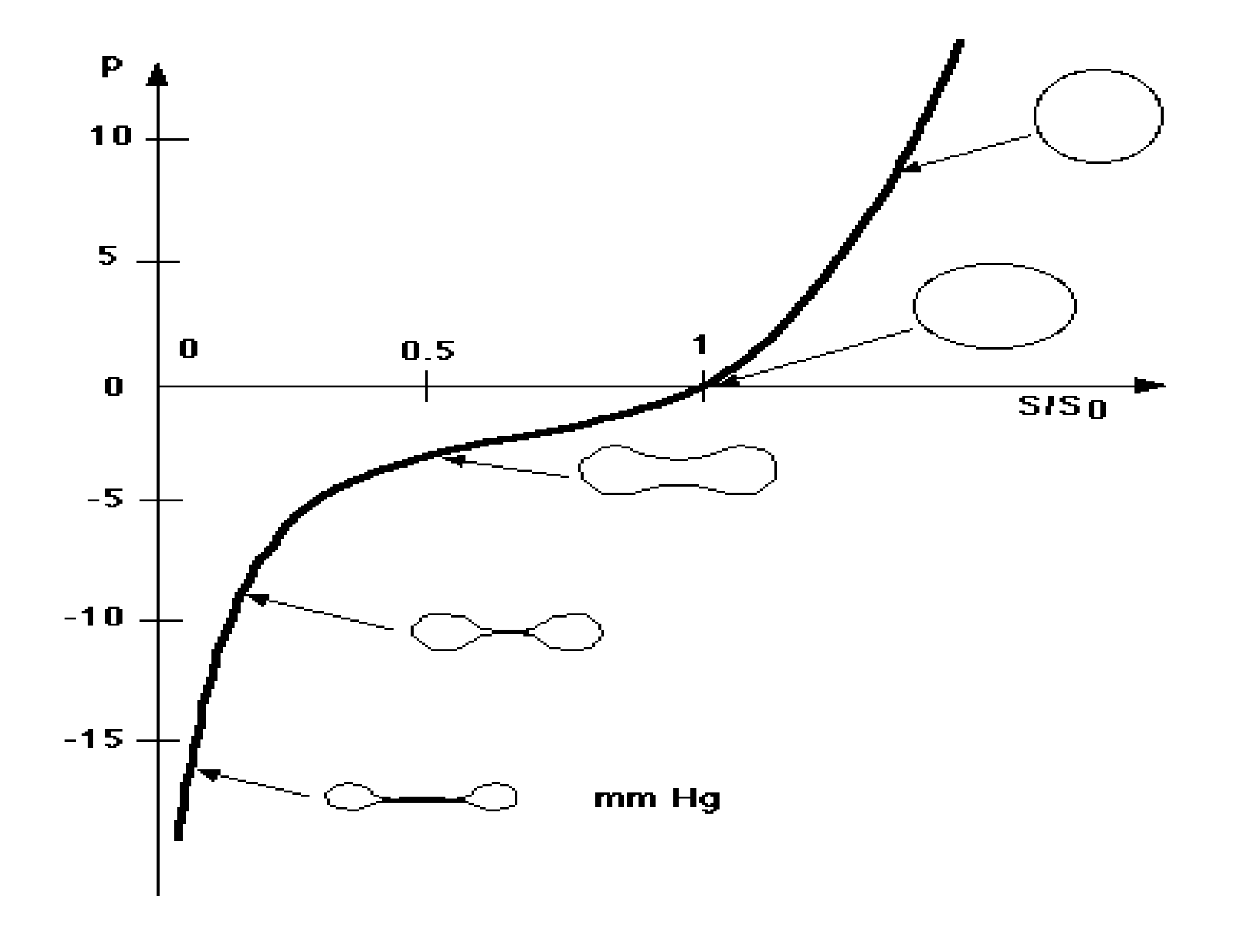
Les principes à partir des veines caves

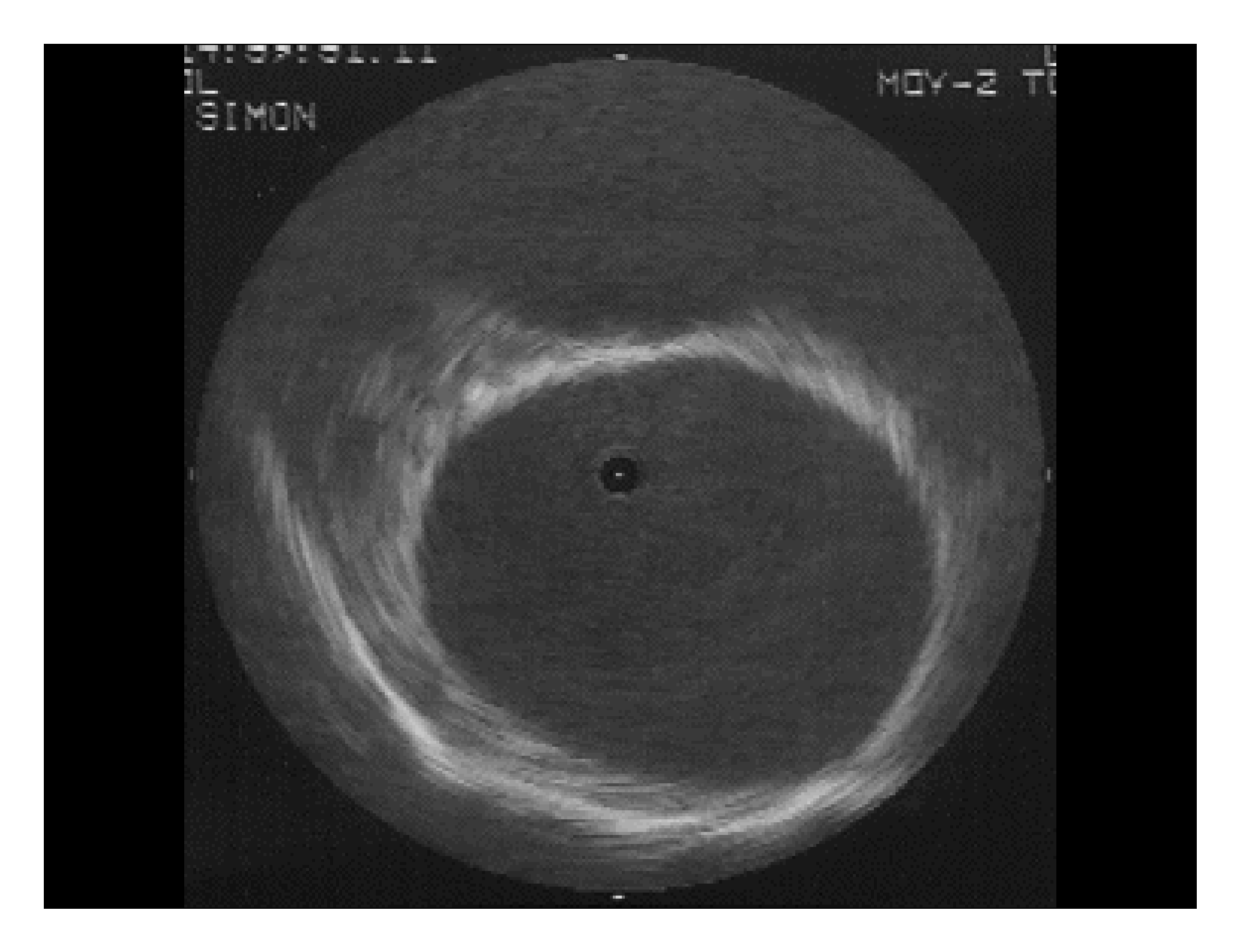
Les propriétés hydrauliques des veines sont celles des tubes déformables, collabables, c'est-à-dire de tubes susceptibles de gonfler sous l'action d'une pression transmurale positive, mais surtout de s'affaisser quand elle devient négative

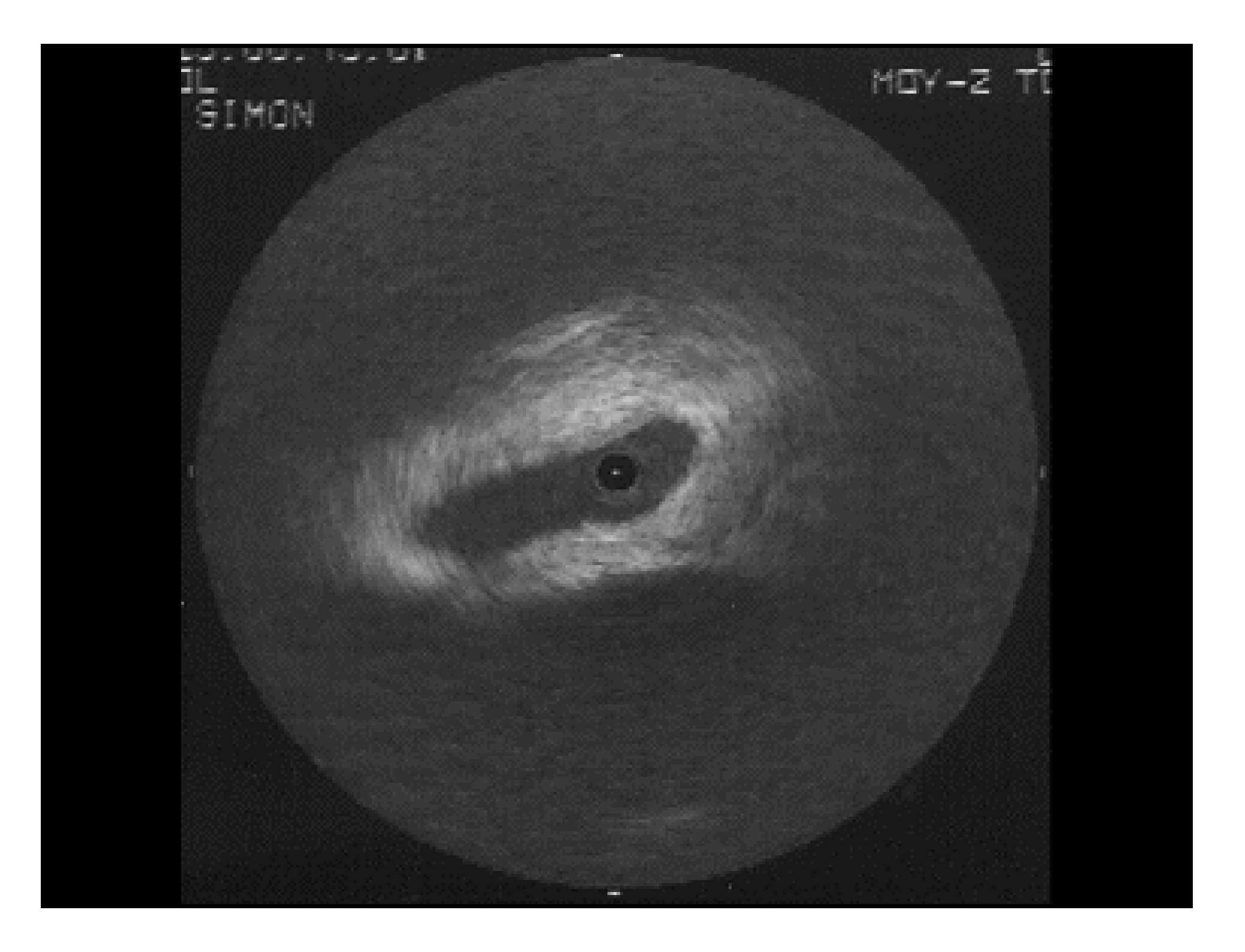
(pression transmurale = pression interne - pression externe)

$$p = pi - pe$$

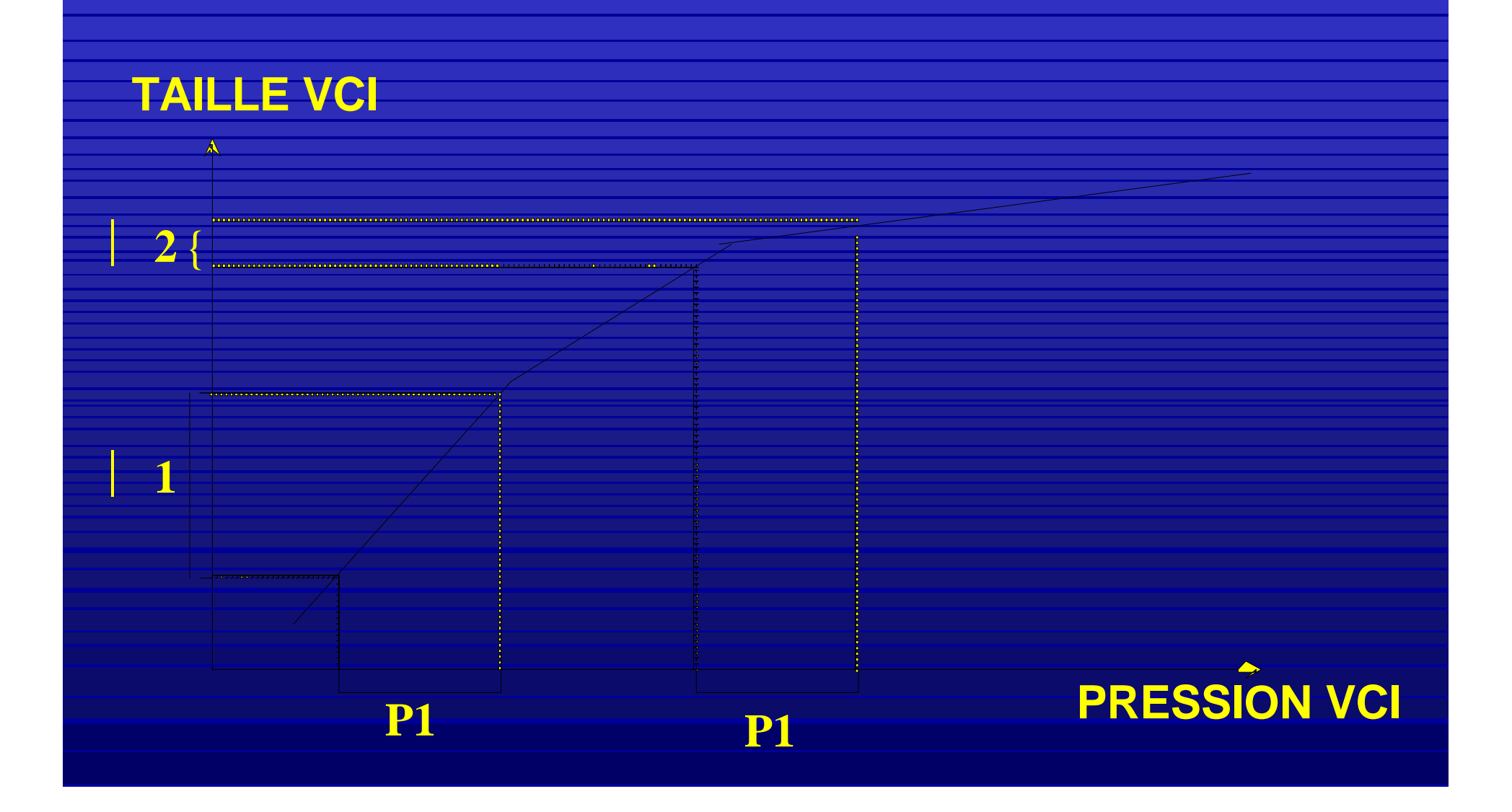








#### **COURBE DE COMPLIANCE VCI**





### • Les principes à partir des veines caves

- Mesure de la réserve de précharge (VCI)
  - La VCI est un vaisseau EXTRATHORACIQUE de compliance élevée sensible à de faible variation de « pression » ou de volume.
  - Sous VAC l'augmentation de la pression intrathoracique induit une diminution du Retour Veineux responsable d'une « accumulation » de sang dans la VCI et une augmentation de la pression transmurale d'autant plus marquée que la VCI est non contrainte.
  - Une ΔVCI de grande amplitude témoignerait d'une réserve de précharge au moins droite.
  - Indice prédictif de la réponse au RV?

### La variabilité respiratoire des ΔVCI

(Feissel et coll ICM 2004)

- 37 patients en choc septique sous VAC
- Les R au RV ont une ΔVCI plus élevée (25+-15%) que les NR (6+-4%)

#### $\Delta VCI = [VCImax-VCImin/(VCImax+VCImin)/2]x100$

- Corrélation entre la valeur de base de <u>AVCI</u> et le % d'augmentation de l'IC suite à un RV (r=0,82)
- Seuil de 12% discrimine les R des NR avec une VPP de 93% et une VPN de 92%.
- Les mesures statiques de la VCI sont nettement moins bien corrélées aux % d'augmentation de l'IC suite à un RV (r=0,48 et 0,54 pour Dmax et Dmin).

La variabilité respiratoire de la VCI

(Barbier et coll ICM 2004)

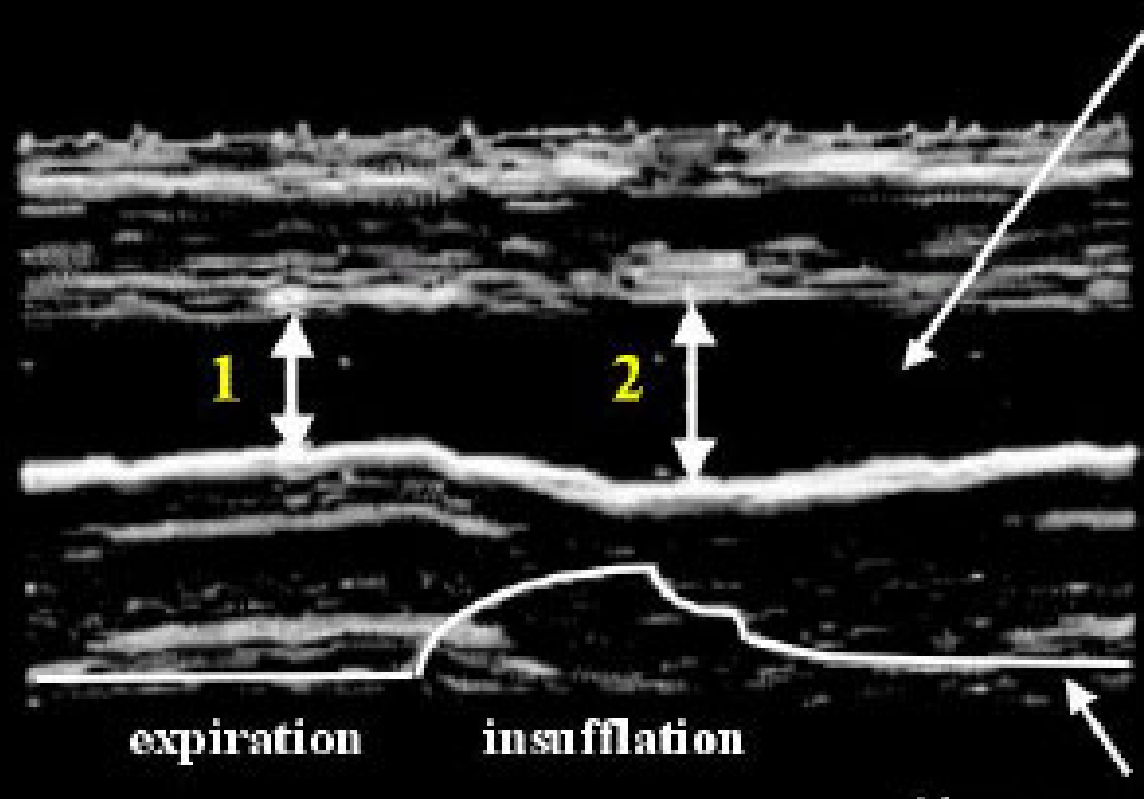
- 23 patients en choc septique étudiés en ETT (vue sous xiphoïdienne))
- Différenciation des R et des NR (augmentation IC > 15%)
- L'index de distensibilité de la VCI

(Dmax-Dmin/Dmin)

un seuil de 18% discrimine les R des NR avec une Se de 90% et une Spe de 90%.  $1 = \min D_{IVC}$ 

 $2 = maximum D_{IVC}$ 

Inferior vena cava

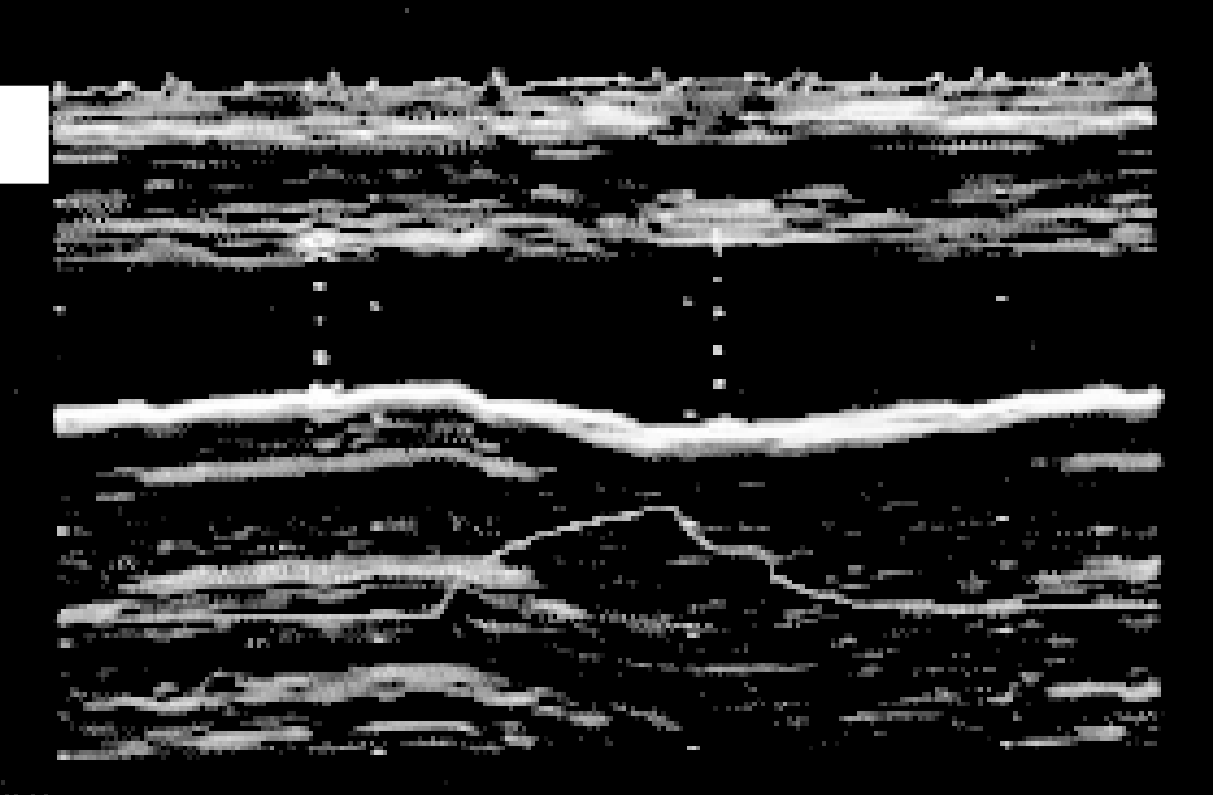


Airway pressure curve

 $\Delta$  VCI :22%

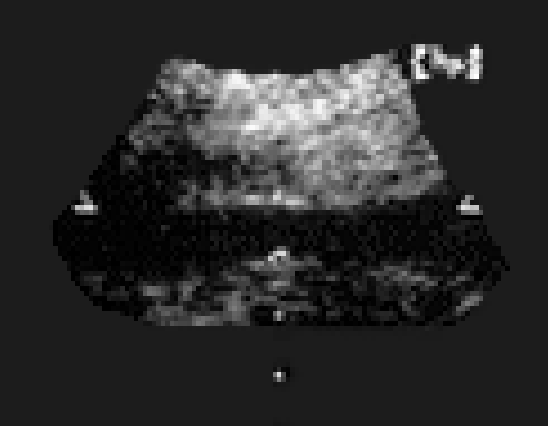
Réanimation et Maladies Infectieuses

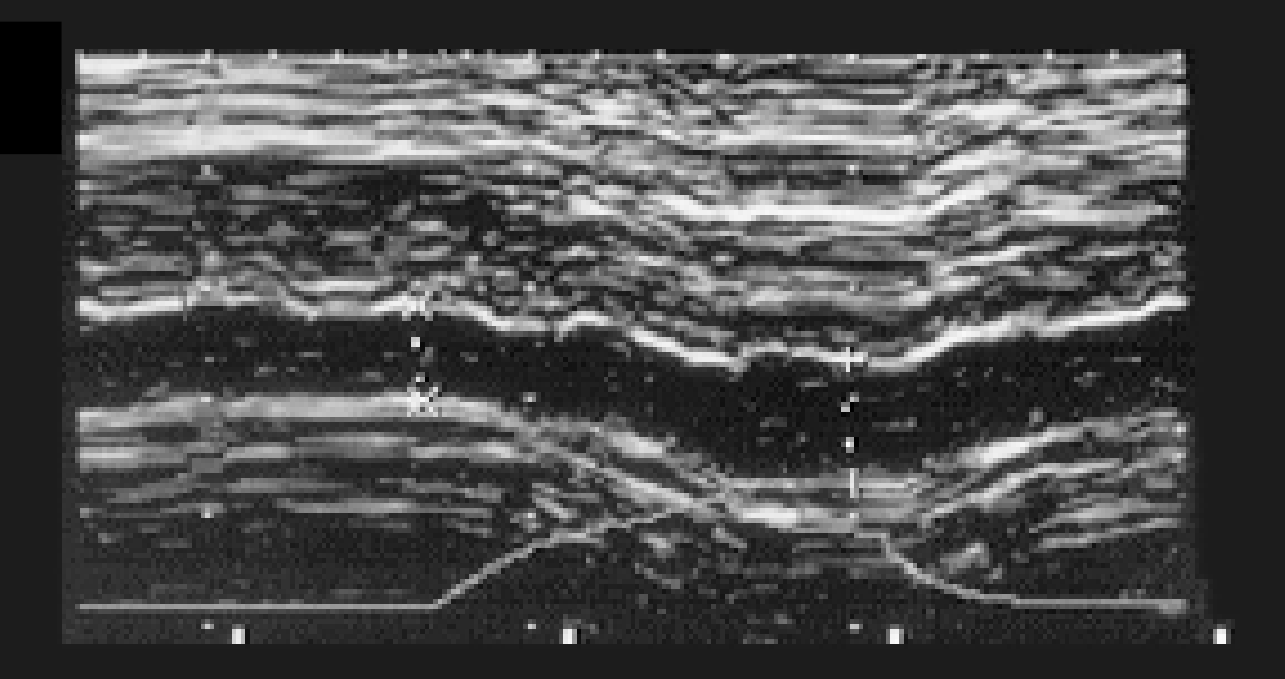
Centre Hospitalier de Belfort



 $\Delta$  VCI : 28%

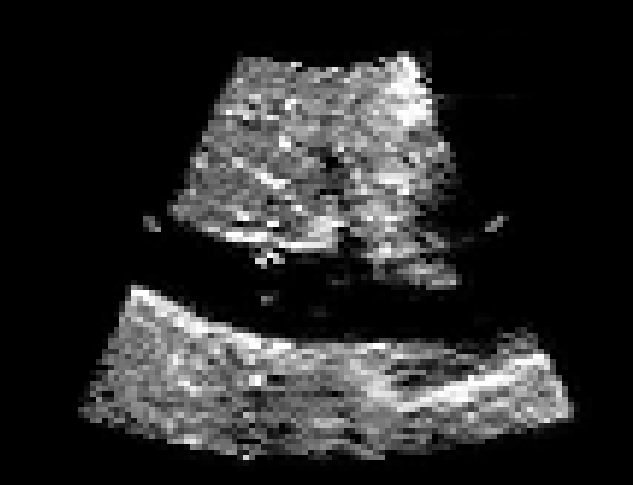
Réanimation et Maladies Infectieuses Centre Hospitalier de Belfort

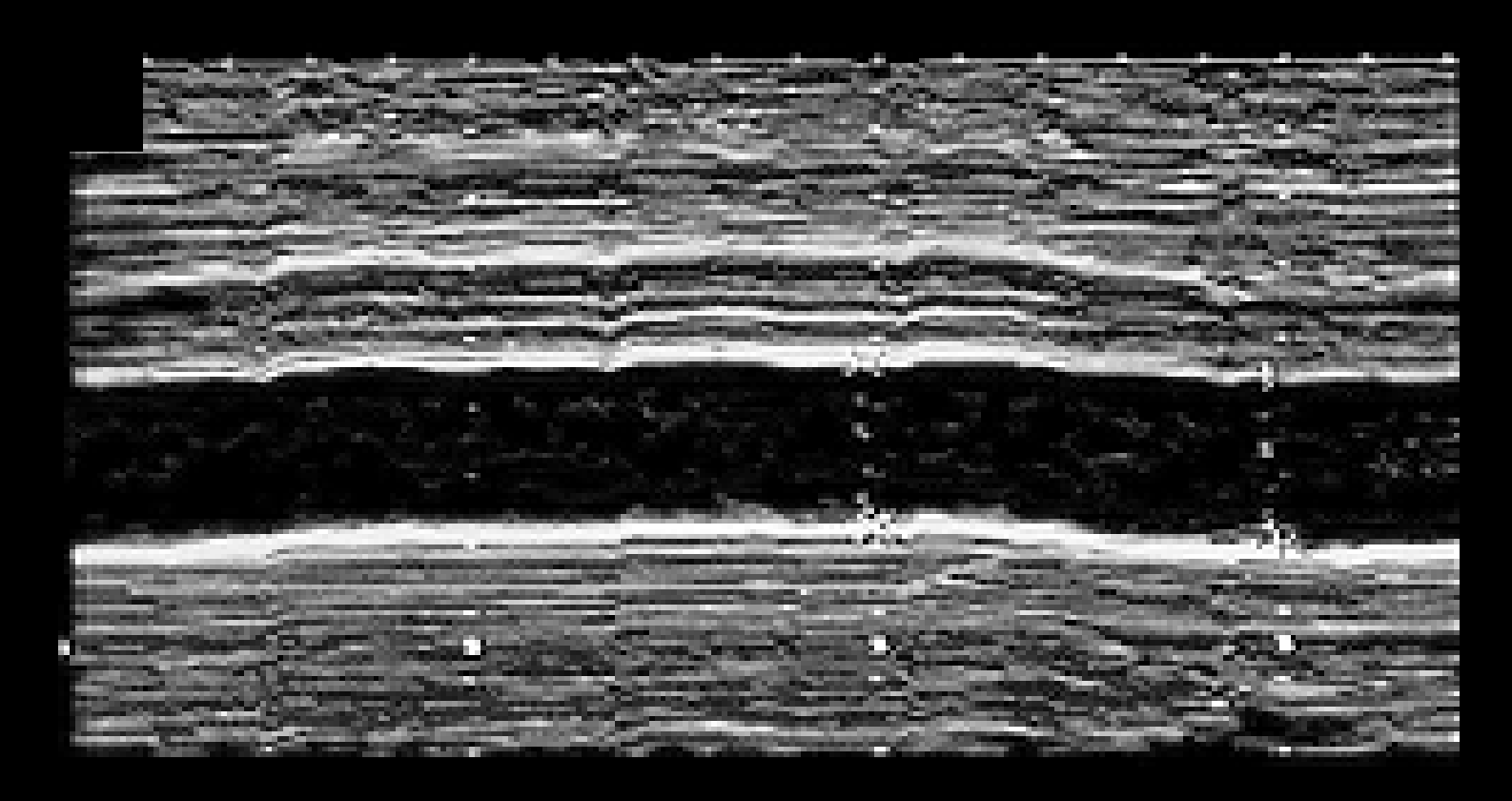


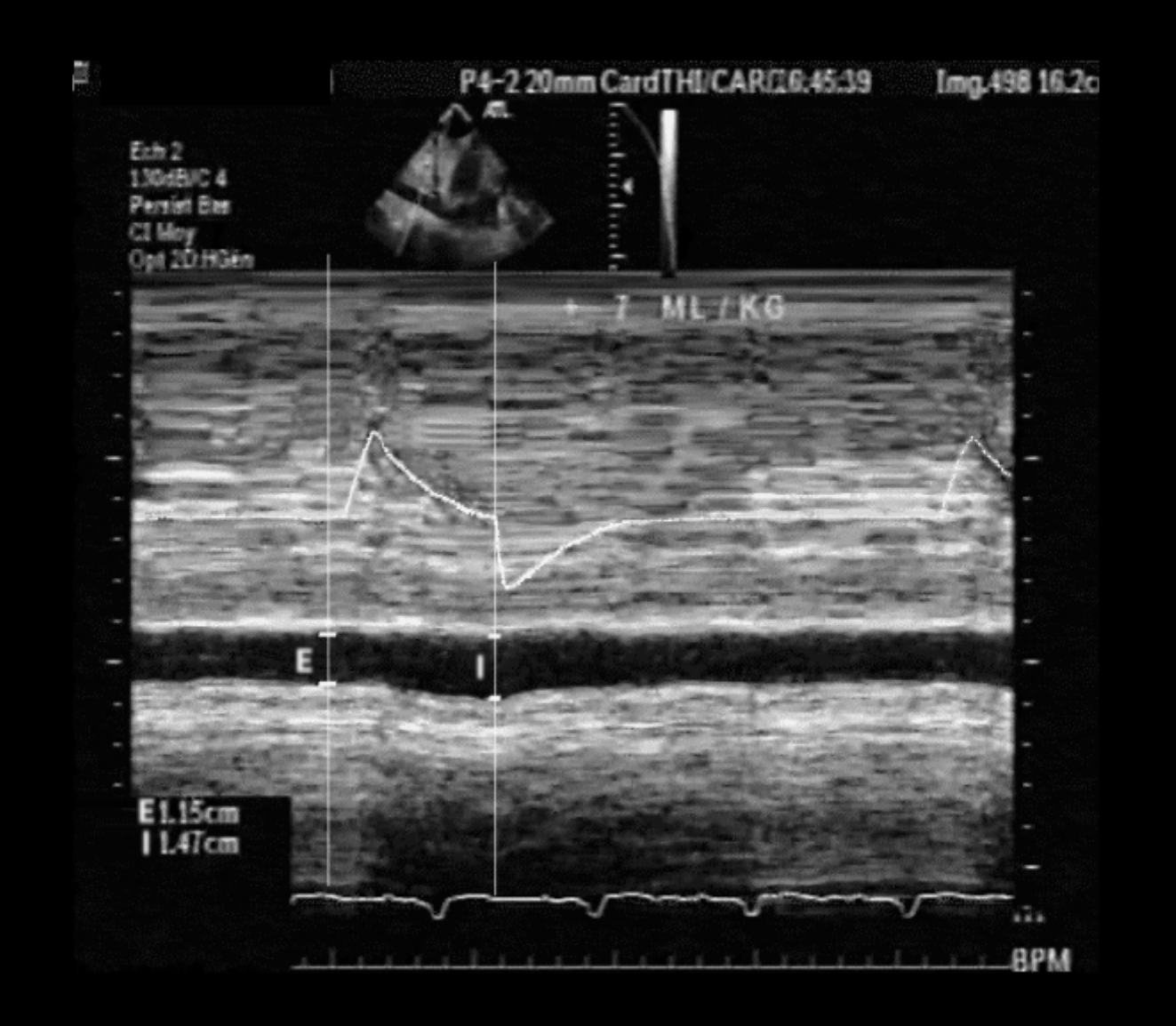


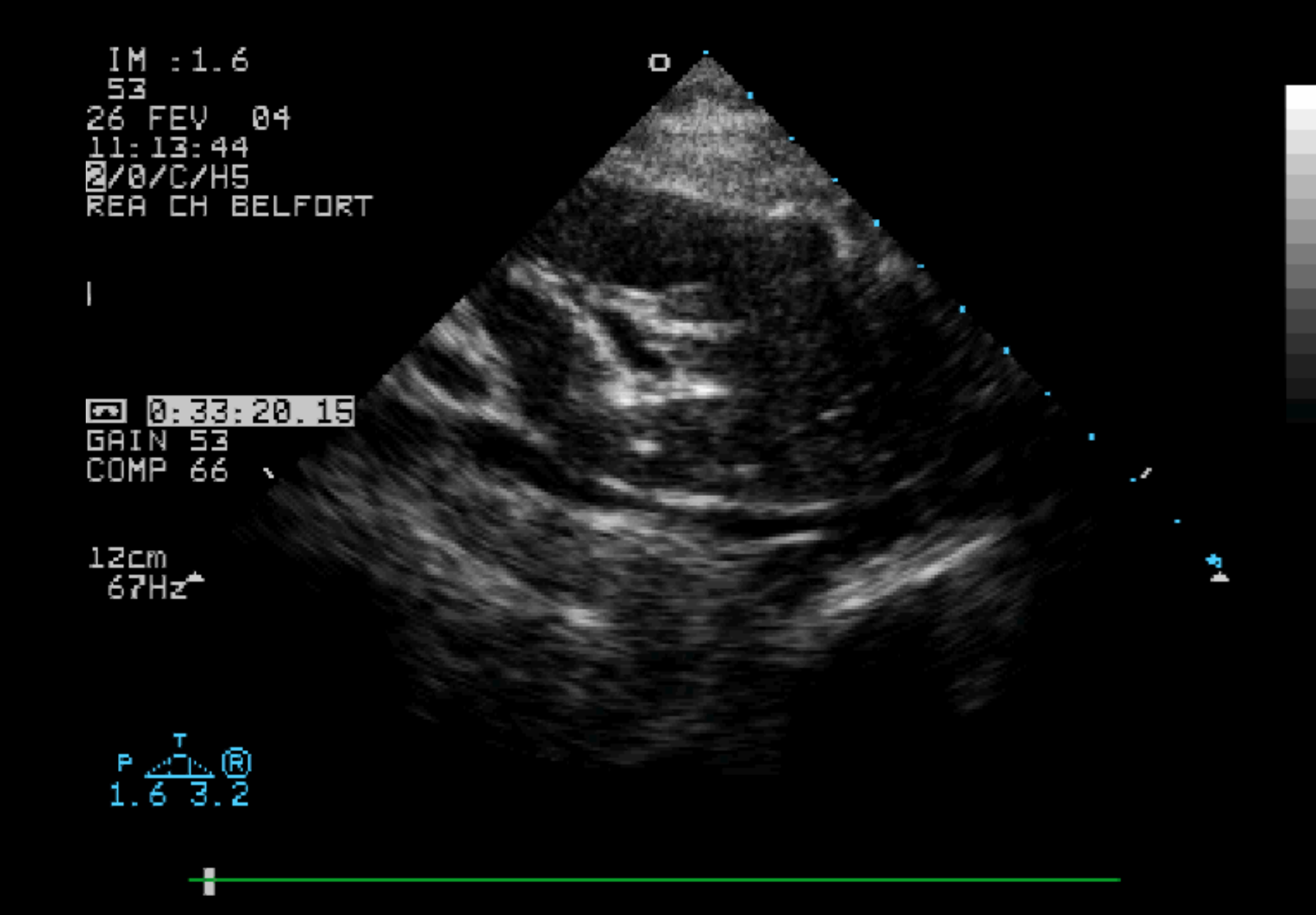
### $\Delta$ VCI : 1%

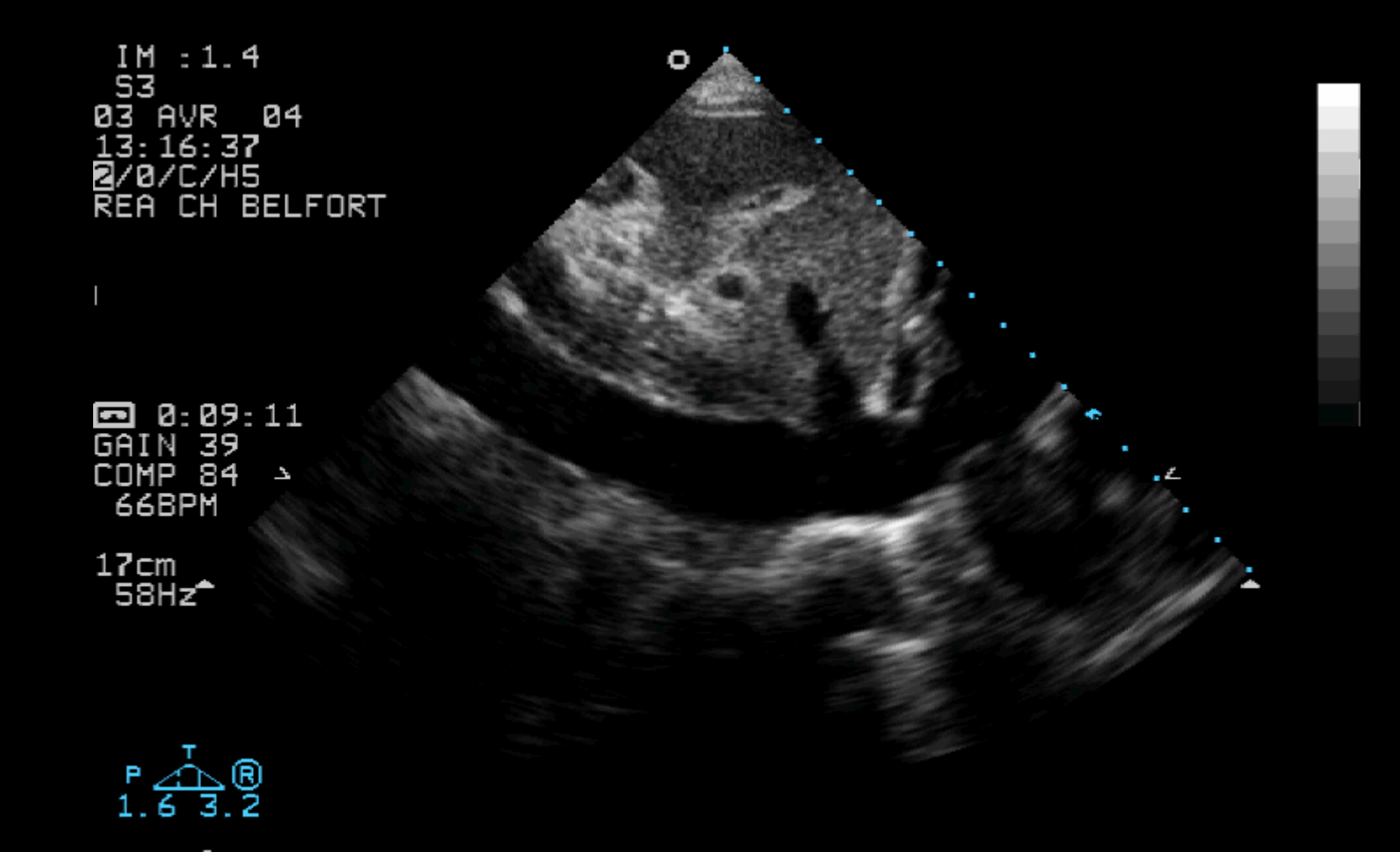
Réanimation et Maladies Infectieuses Centre Hospitalier de Belfort

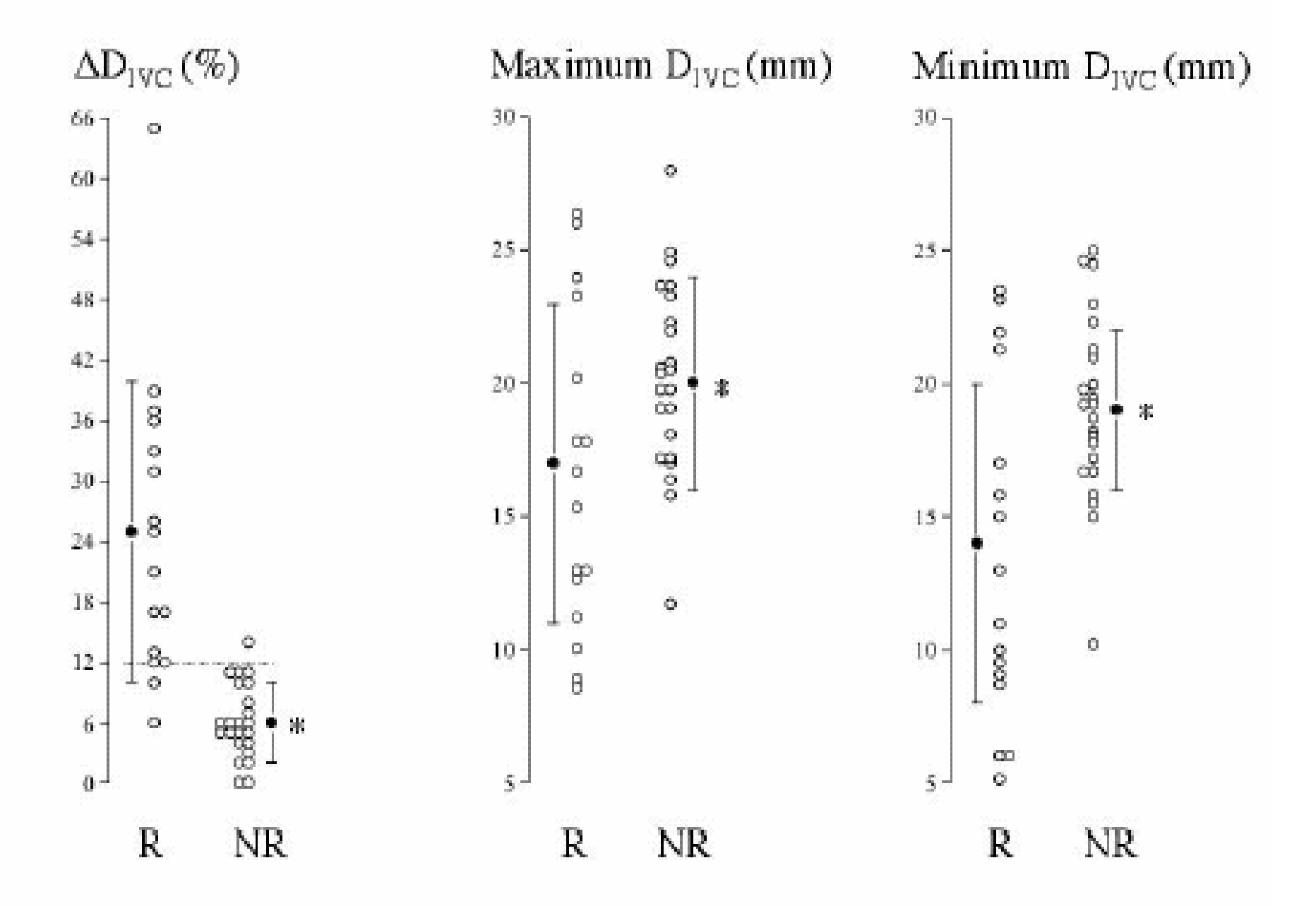












# Indices prédictifs écho Doppler de la réponse au RV

- Les limites de ces paramètres:
  - Anatomique (variations interindividuelles)
  - Patient sous ventilation mécanique parfaitement adapté au respirateur (pas d'effort inspiratoire)
  - Position d'analyse du TM (limite majeure)
  - Considérer la pression intra abdominale
  - Paramètres de la ventilation classique (SDRA et petit volume courant!!)
  - Absence d'HTAP chronique (altération de la compliance VCI)



### Les avantages de ces paramètres:

- Application de principes physiologiques reconnus mais complexes
- Compréhension aisée des phénomènes
- Application clinique au lit du patient
- Reproductible si mêmes conditions d'analyse

- Les principes à partir des veines caves
  - Mesure de la volémie intrathoracique (VCS)
    - La VCS est un vaisseau intrathoracique dont le diamètre dépend:
      - De la pression intravasculaire
      - De la contre pression intrathoracique (PPleurale)

#### **Pression Transmurale**

- De la compliance du vaisseau
- Le collapsus complet ou partiel de la VCS pourrait traduire une volémie inadaptée du volume intrathoracique.
- Indice prédictif de la réponse au RV?



- Etude de la variabilité respiratoire du diamètre de la VCS

(A.Vieillard-Baron et coll ICM 2004)

- 66 patients en choc septique étudiés en ETO
- VCS en ETO
- Différenciation des R (20) et des NR (46) (augmentation IC >11%)
- L'index de collapsibilité de la VCS

**Dmax-Dmin/Dmax** 

ITWO\_4 ITOO\_2 ITCO\_4 IWO\_5 EXTERILIDONCC 116 12.07w2002 REANIHATION C TRANS-OF 11:28:20 PURE PURO SEL MUDE Ÿ VAILE. M.E.

- Etude de la variabilité respiratoire du diamètre de la VCS (A.Vieillard-Baron et coll ICM 2004)
  - Le % de collapsus de la VCS: 64±17% R; 14±11% NR.
  - seuil de 36% discrimine les R des NR avec une Se de 90% et une Spe de 100%.
  - Mesures statiques: diamètre maximum VCS entre R et NR est différent: 17+-5mm NR- 15+-4mm R
  - Un seuil de 16mm discrimine R des NR avec ±une Se de 90% et une Spe de 56%.

#### **Distribution bi-modale**

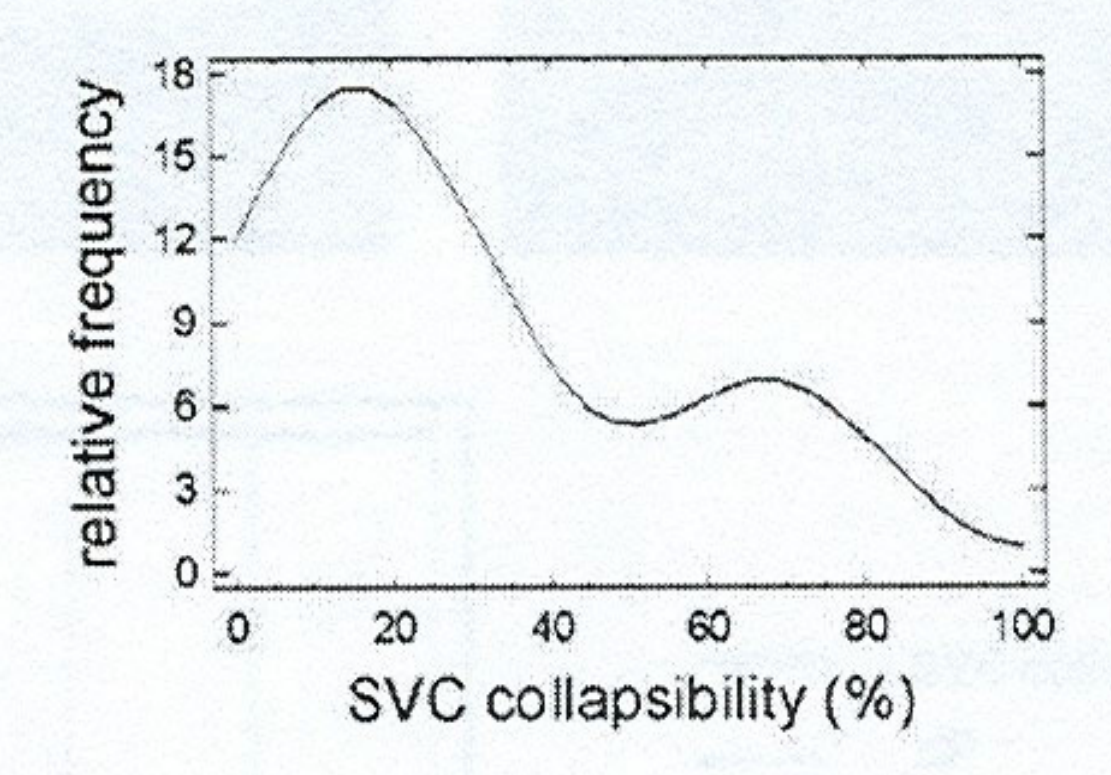
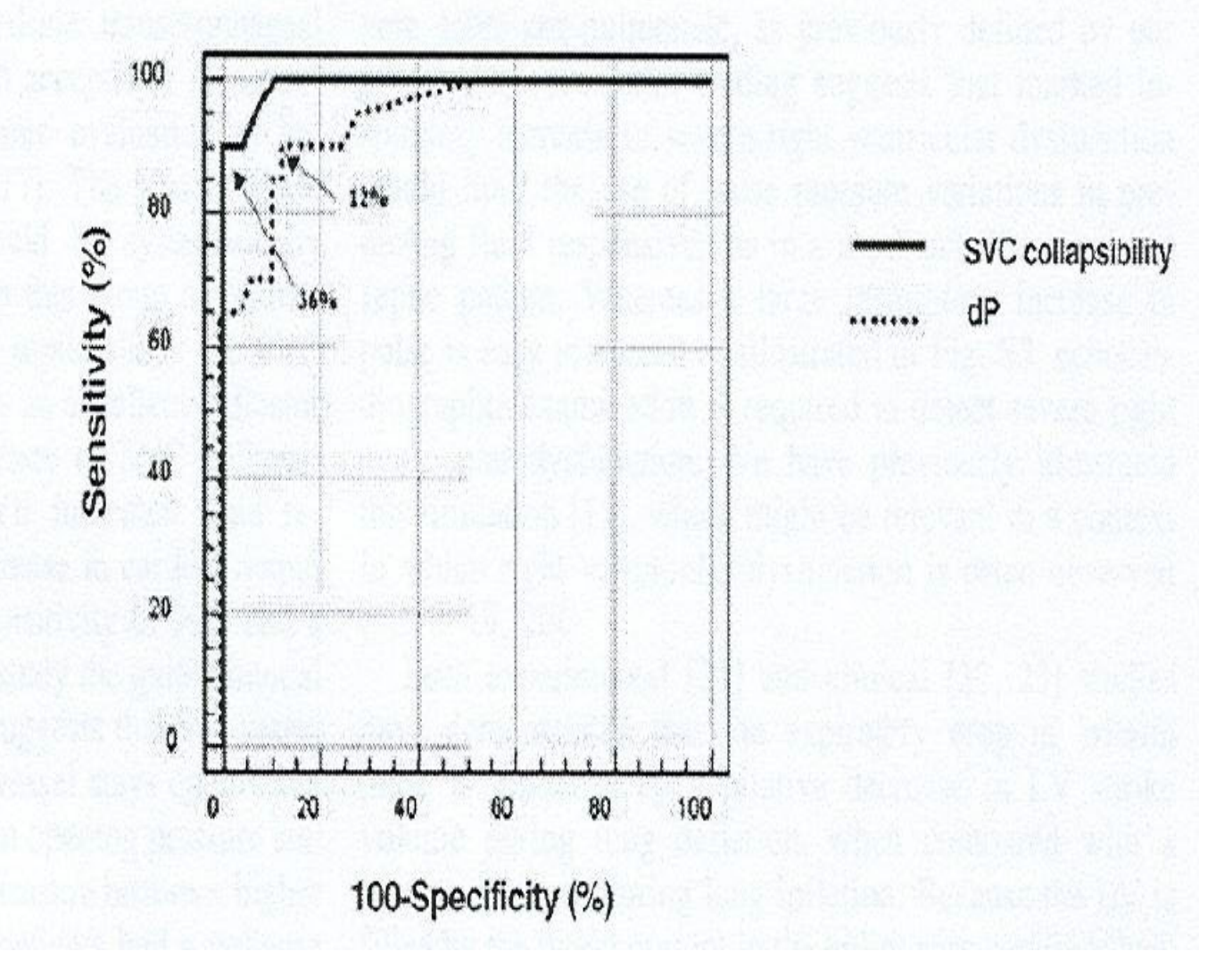


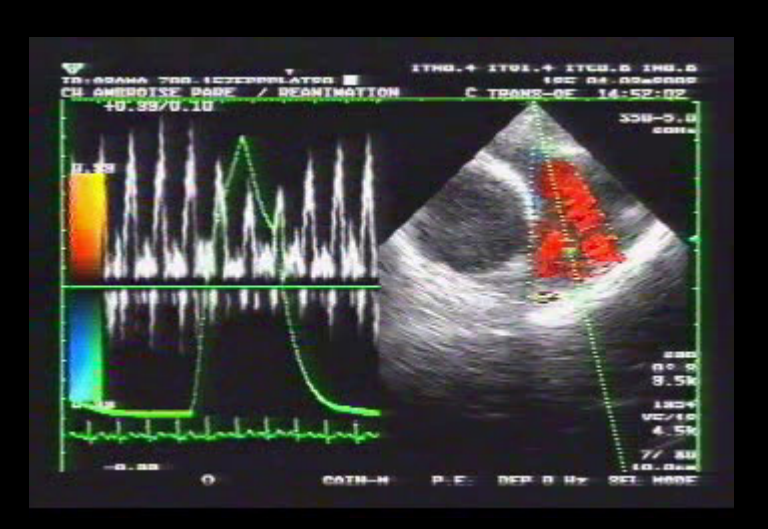
Fig. 1 This plot of proportional superior venal caval (SVC) collapsibility and relative frequency (number of patients exhibiting this collapsibility index) in the overall group illustrates its bimodal distribution

### Courbe ROC comparant le pouvoir discriminant de $\Delta$ VCS et du $\Delta$ PP à sélectionner les R des NR (IC >11% R).

Fig. 3 ROC curves comparing the ability of SVC collapsibility and dP to discriminate responders (CI increase  $\geq 11\%$ ) and nonresponders to VE. The area under the ROC curve for SVC collapsibility (0.993 $\pm$ 0.013) did not differ significantly from the area under the ROC curve for dP (0.940 $\pm$ 0.038; P=0.19) Threshold values for these parameters (*arrows*) are 36% and 12%, respectively

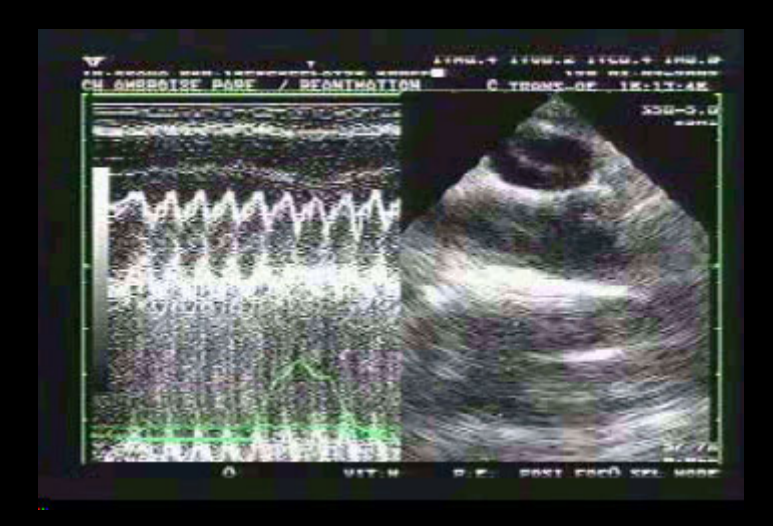


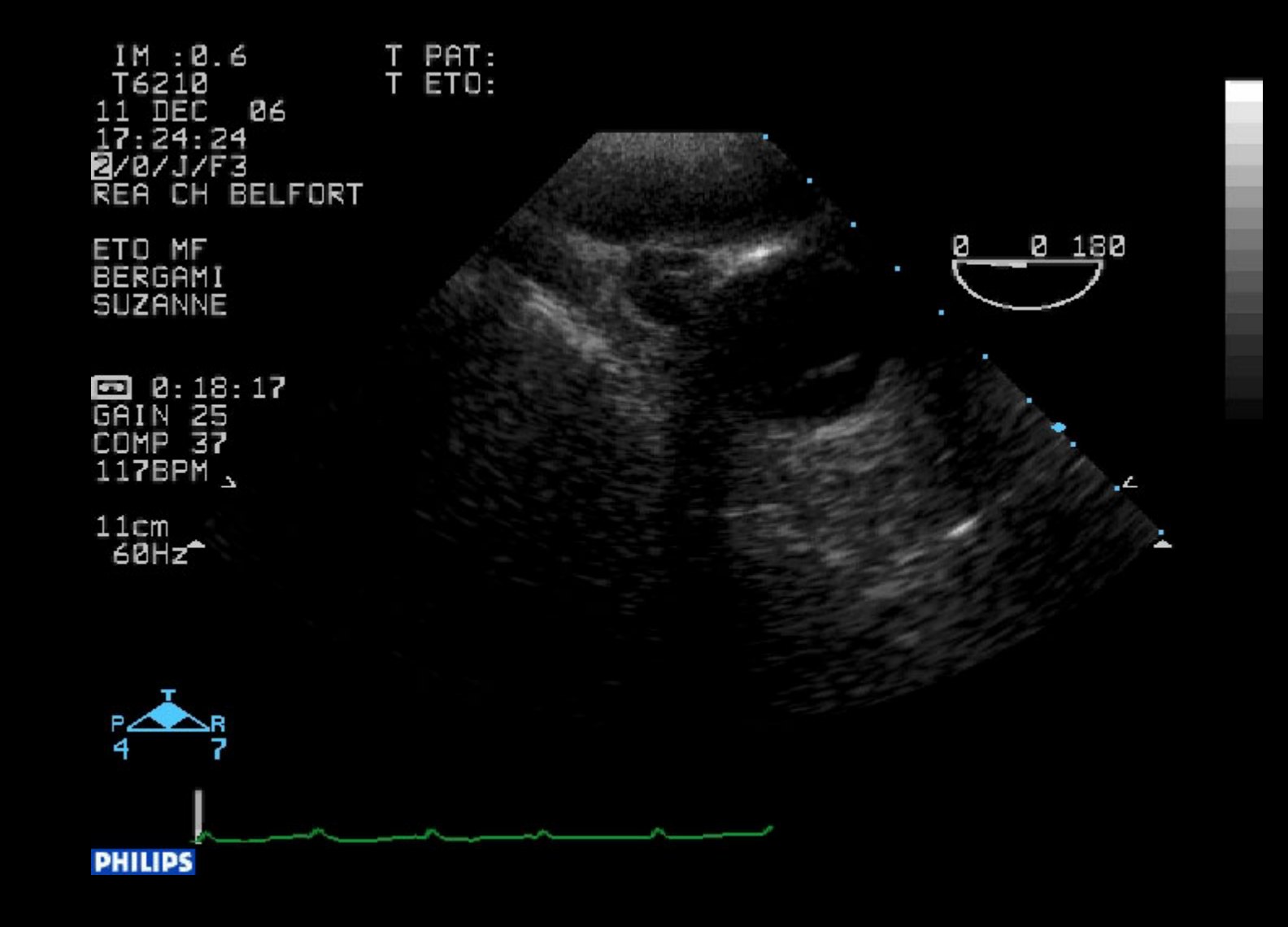
#### **BASAL**

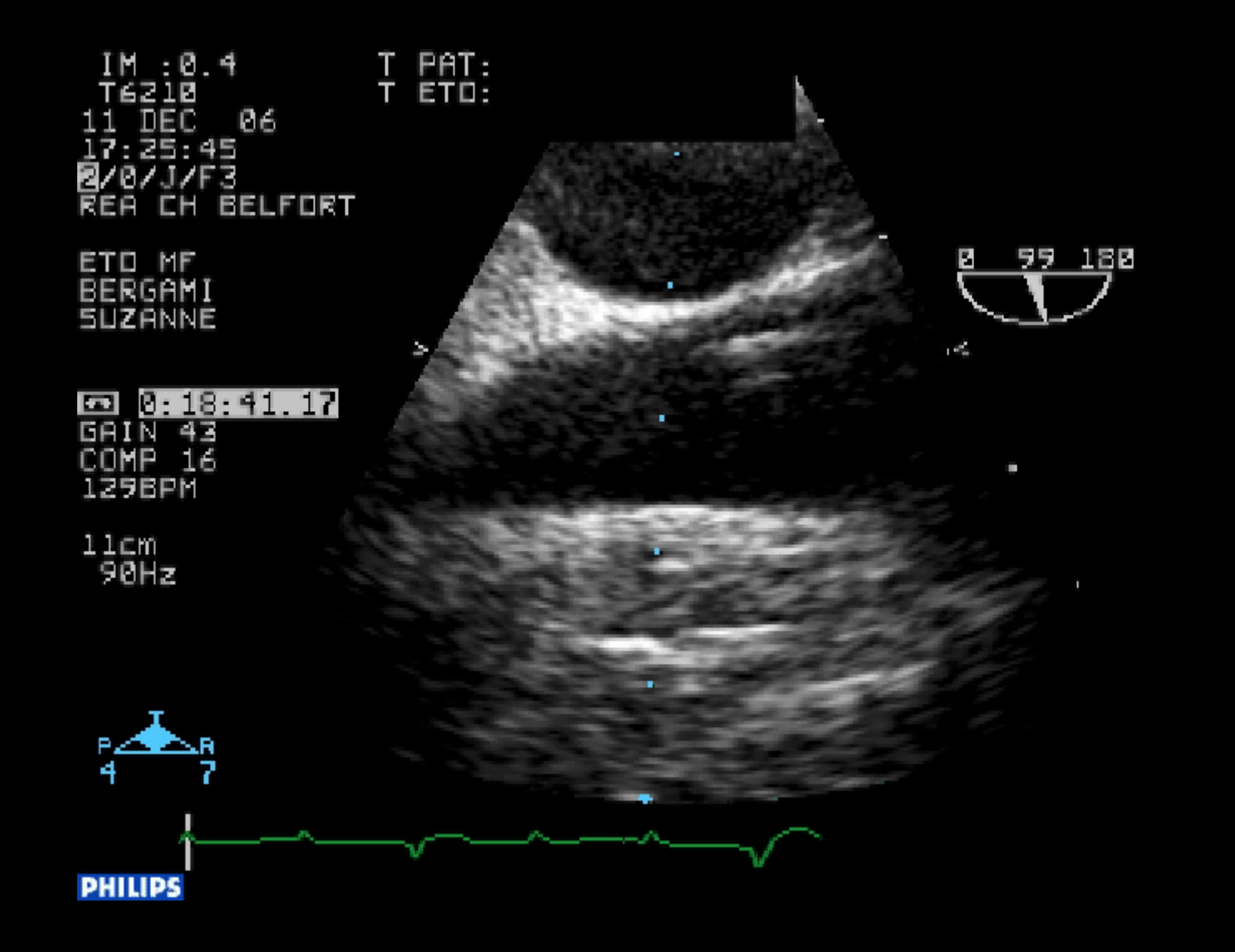


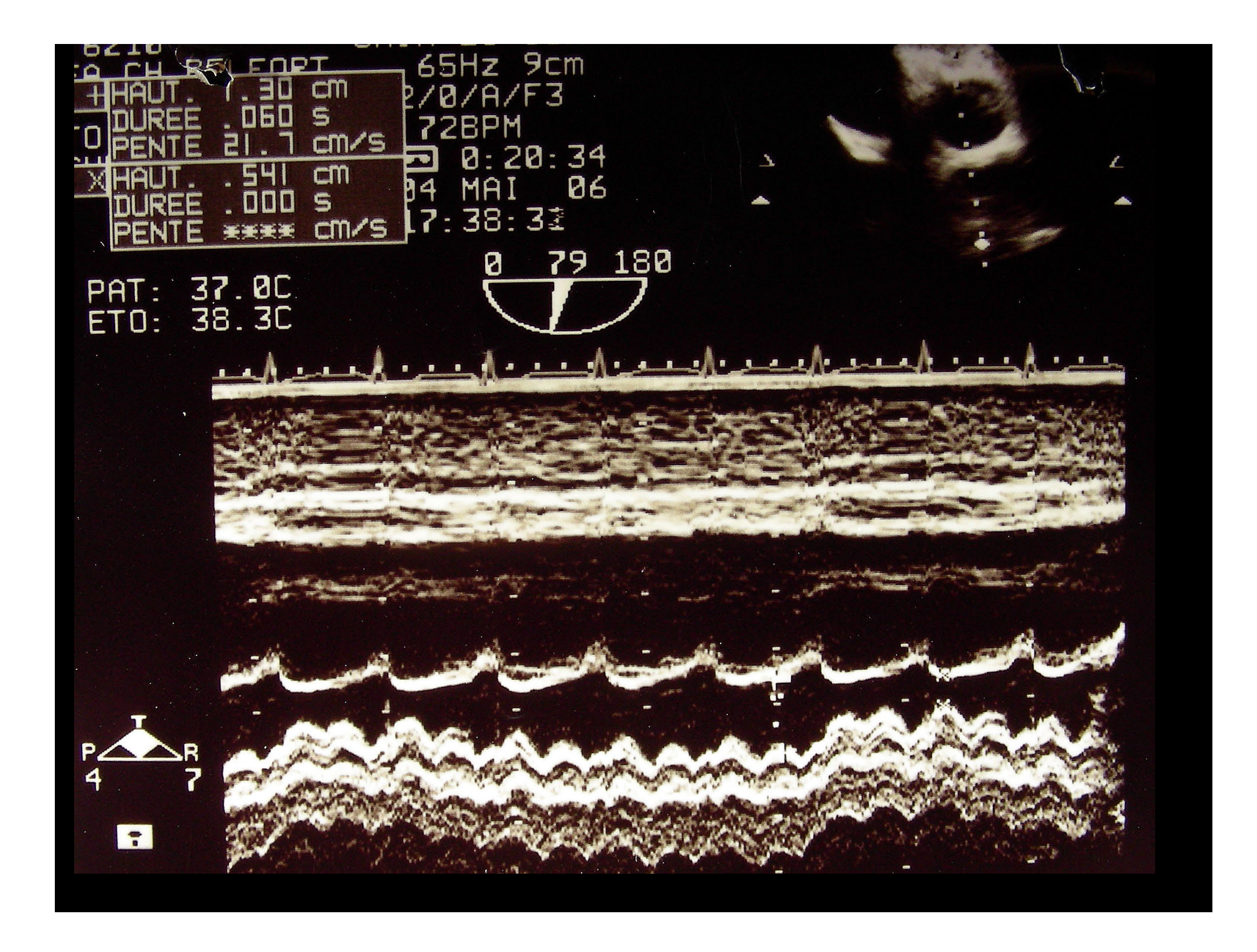
### EXPANSION VOLEMIQUE 500 cc

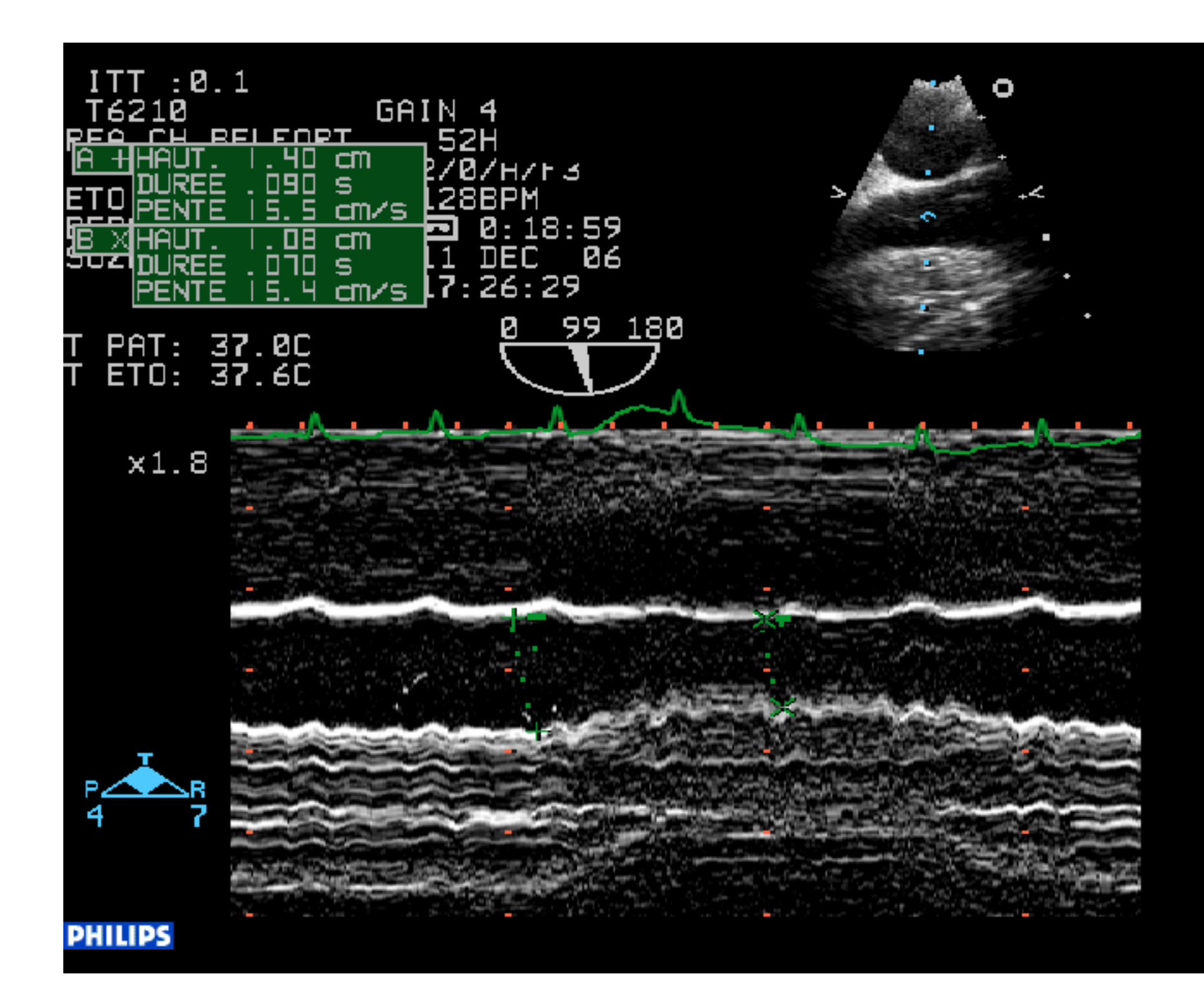


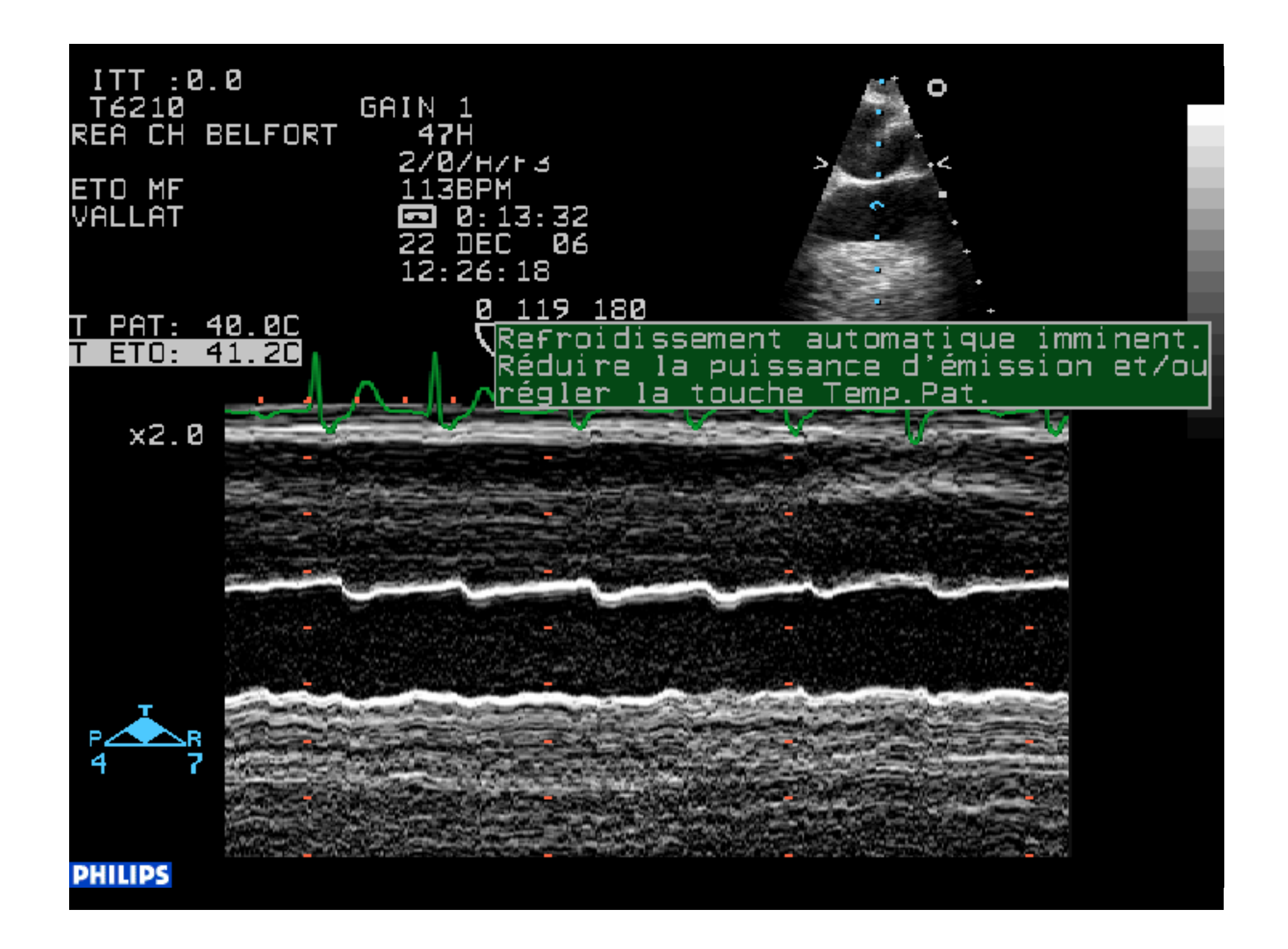












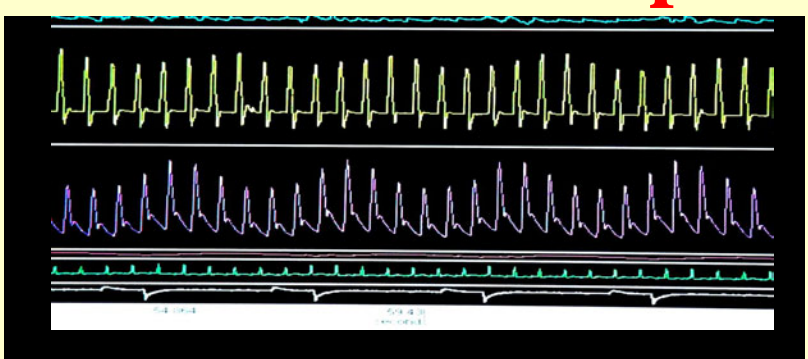




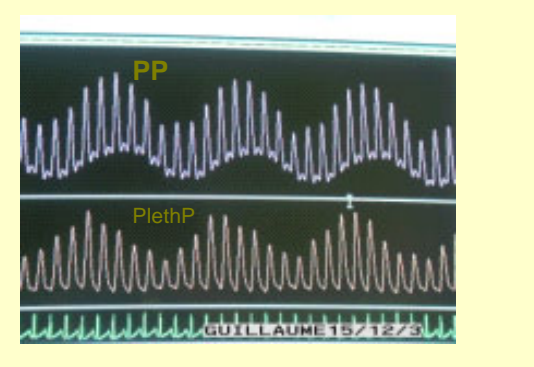
Les indices dynamiques sont les paramètres les plus fiables pour prédire la réponse hémodynamique au remplissage vasculaire dans le cadre du choc septique.

Parmi les examens non ou « peu » invasifs, les paramètres échographiques et Doppler sont intéressants.

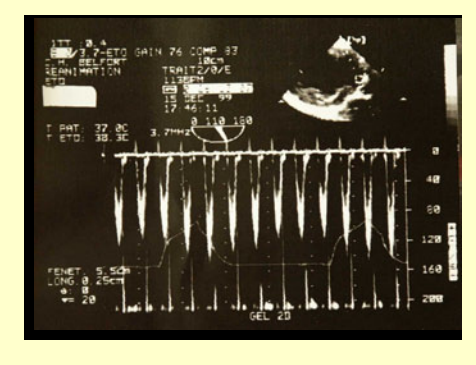
### Les indices prédictifs des effets du RV



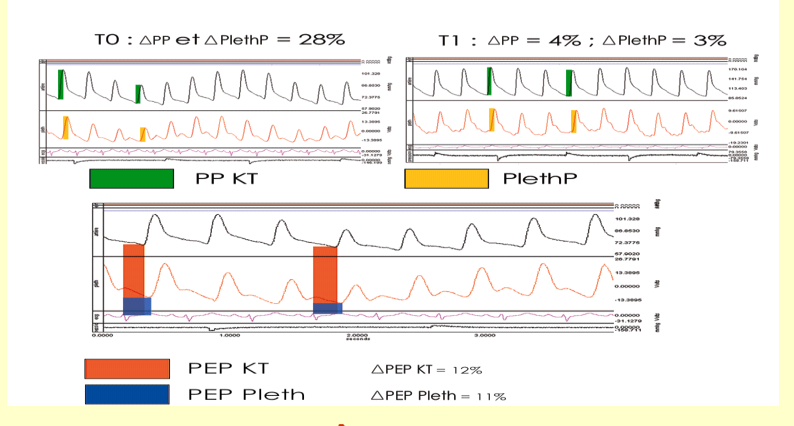
? Vmax et ABF en EDO et ? PP KT artériel. (X Monnet et coll ICM 2005 in press)



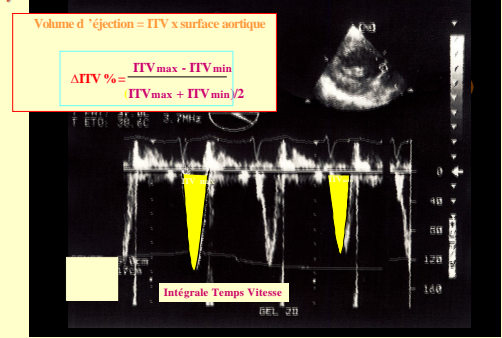
?PP et ? PPleth (M Feissel et coll submitted )



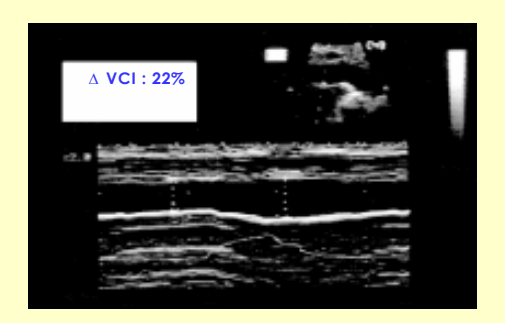
**?Vmax en ETO** (M Feissel et coll. Chest 2001)



 $\triangle$ PEP KT et  $\triangle$  PEP Pleth (M Feissel et coll CCM 2005)



? ITV en ETO (M Slama et coll. 2002)



**?VCI en ETT** (M Feissel et coll CM 2005)



?VCS en ETO (A Vieillard -Baron et coll ICM 2005)